

December 2023

# **861 Tankområde Hundested**

**Monitering ved Tank 27, 2023**

**Dataliste**

Etablissement	861 Tankområde Hundested
Adresse	Hesseløvej 9, 3390 Hundested
Matrikelnumre	37a Kikhavn By, Thorup
Kommune	Halsnæs
Ejerforhold	Ejet
Primær forsvarsaktivitet	Tankområde
Evt. tidligere civil anvendelse	-

**FES sagsnummer:** 2023/002726  
**FES sagsbehandler:** Bjarne Hansen  
**Rådgiver:** NIRAS A/S  
**Rådgivers sagsnummer:** 10415142  
**Udarbejdet af:** KMS  
**Kvalitetssikret af:** JDJ

# INDHOLDSFORTEGNELSE

<b>o.</b>	<b>RESUMÉ .....</b>	<b>5</b>
<b>1.</b>	<b>INDLEDNING .....</b>	<b>6</b>
1.1	Baggrund.....	6
1.2	Formål.....	7
<b>2.</b>	<b>MONITERINGENS UDFØRELSE.....</b>	<b>8</b>
2.1	Moniteringens omfang .....	8
2.1.1	Sløjfning af filter B401-1 .....	9
2.2	Pejlinger .....	9
2.3	Vandprøver .....	10
2.4	Potentiale og strømningsretning .....	11
2.5	Forureningsforhold .....	11
<b>3.</b>	<b>FORURENINGSUDVIKLING.....</b>	<b>12</b>
3.1	Potentialeforhold og strømningsretning .....	12
3.2	Forurening .....	13
<b>4.</b>	<b>KONKLUSIONER .....</b>	<b>16</b>
<b>5.</b>	<b>REFERENCER .....</b>	<b>17</b>

# BILAGSFORTEGNELSE

- 1**      Oversigtskort med moniteringsområder, indvindingsboringer og indvindingsoplande
- 2**      Oversigtskort med beskyttede naturtyper, vandløb og grundvandspotentialelinjer
- 3**      Grundvandspotentiale i sekundært magasin
- 4**      Forureningsudbredelse, benzin (bilag 4a-4c)
- 5**      GSI Mann-Kendall Toolkit Trend Analysis for benzin
- 6**      Moniteringsboringer, moniteringshistorik og boringskoordinater
- 7**      Feltpapirer
- 8**      Analysedata samlet, 2010-2023
- 9**      Analyserapporter, 2023

## o.Resumé

Der er i oktober 2023 gennemført en grundvandsmonitering på 861 Tankområde Hundested ved tank 27, hvor der tidligere er påvist forurening med benzin i jord og grundvand.

Ved tank 27 vurderes det, at der fortsat er et hotspot med fri fase benzin under tanken, som føder forureningsfanen, så kildestyrken ikke aftager, trods tegn på naturlig nedbrydning. Forureningsfanen breder sig horisontalt mod nedstrøms beliggende beboelse, mens fanen i nærværende undersøgelse er afgrænset vertikalt af dæklaget af moræneler. I 2022 blev der 10-12 m u.t. dog påvist indhold af total kulbrinter på 49 µg/l i center af fanen.

I 2019 var den nedstrømsbeliggende boring B605 afgrænsende for forureningsfanen mod den nærliggende beboelsesejendom. I 2021 blev der i boringen påvist et indhold på 110 µg/l, som siden er steget med en ca. faktor 2 årligt og i nærværende monitering ligger på 410 µg/l. Der er dog ikke påvist kulbrinteindhold i vandprøven fra de mest terrænnære filtre i den nedstrømsbeliggende del af forureningsfanen, hvorfor forurenningen på nuværende tidspunkt ikke vurderes at sprede sig terrænnært ind under de nærliggende beboelser. Det vurderes dog, at forurenningen forsæt vil sprede sig nedstrøms tank 27, hvorfor det ikke kan udelukkes, at forurenningen på sigt vil kunne udgøre en risiko overfor den nedstrøms beboelse.

Grundvandsforurening ved tank 27 vurderes på baggrund af moniteringen i 2023 ikke på nuværende tidspunkt at udgøre en risiko overfor det primære grundvandsmagasin i området.

# 1. Indledning

## 1.1 Baggrund

Etablissement 861 Tankområde Hundested har i perioden 1959 til 2008 fungeret som brændstofdepot for Forsvaret. Beliggenheden af etablissementet er vist i bilag 1.

I forbindelse med ophør af driften af etablissementet, blev der i 2010 og 2011 udført henholdsvis en orienterende og en supplerende forureningsundersøgelse på etablissementet /1/ og /2/. På påfyldningspladsen (TLS) er der ved forureningsundersøgelser i hhv. 2010 og 2011 konstateret forurening med olie i jord og grundvand /1/og /2/. Ved forureningsundersøgelserne blev der endvidere konstateret forurening med benzin i grundvandet ved Tank 27, hvorfor der i 2013 /3/, 2018 /4/ og 2019 /5/ er udført yderligere supplerende undersøgelser. Den påviste benzinforsurening vurderes at stamme fra lækage af ca. 800 l benzin i 1978 fra tanken til drænene under Tank 27 /3/.

Grundvandsforureningerne er moniteret ved moniteringsrunder i 2012 /6/, 2014 /7/, 2017 /8/ 2021 /9/ og 2022 /10/. Ved de afgrænsende undersøgelser i 2013/3/, 2018 /4/ og 2019 /5/ er der ligeledes udtaget grundvandsprøver i en række eksisterende borer til monitering af grundvandsforureningerne. I 2022 blev der også analyseret for PFAS i udvalgte borer /10/. Resultaterne fra alle relevante undersøgelser er inddarbejdet i nærværende moniteringsrapport.

Efter moniteringsrunden i 2021 har Forsvarsministeriets Ejendomsstyrelse besluttet at øge moniteringsfrekvensen ved Tank 27 , mens moniterings-frekvensen ved TLS sættes ned.



Figur 1.1 Omrentlig placering af Tank 27 på 861 Tankområde Hundested.

## 1.2 Formål

Det primære formål med moniteringen er at skabe et overblik over status og udvikling af grundvandsforureningen ved Tank 27, samt på baggrund af undersøgelserne, at risikovurdere særligt i forhold til drikkevands-ressourcen og arealanvendelse af naboejendommene (beboelsesejendomme) nær forureningen ved Tank 27.

## 2. Moniteringens udførelse

I nedenstående afsnit er beskrevet, hvilke borer ved Tank 27, der i nærværende moniteringsrunde er moniteret. Dokumentation for vandprøvetagningen er vedlagt i bilag 7. Samtlige vandprøver er analyseret for olie og BTEX'er. Analyselaboratoriet ALS Denmark har udført de akkrediterede analyser. Analyserapporterne er vedlagt i bilag 9.

Omfangen af moniteringen for olie og BTEX'er ved de moniteringsrunder, der er foretaget indtil nu, har varieret fra runde til runde. I bilag 6 fremgår hvilke borer, der er moniteret ved de enkelte runder. Moniteringsprogrammet tager udgangspunkt i det angivne moniteringsprogram i 2017 /8/ suppleret med monitering i de afgrænsende borer udført i 2018 og 2019 /4 og 5/.

### 2.1 Moniteringens omfang

I 2018 - 2019 er der udført afgrænsende undersøgelser af forureningsfanen med benzin ved Tank 27, idet moniteringsrunde 3 i 2017 viste, at fanen havde bredt sig udover moniteringsområdet. For at få et mere nuanceret billede af forureningsudbredelsen blev det ved denne lejlighed besluttet, at der udover de nyetablerede borer moniteres i alle de filtersatte borer ved Tank 27.

Ved Tank 27 er der planlagt udtagning af vandprøver i de borer, der er listet i nedenstående tabel 2.1. 18 af borerne er horisontalt afgrænsende borer med filtersætning i det terrænnære sandmagasin, der er udvalgt med henblik på at afsløre en eventuel yderligere horisontal spredning af forurenningen. Herudover er der udtaget prøver fra 4 borer, ligeledes med filtersætning i det terrænnære sandmagasin, samt fra pumpebrønden til vurdering af udviklingen i fanens kerne. Den ene af de 4 borer, B401, er udover et terrænnært filter desuden filtersat 10-12 m u.t. for at vurdere, om der sker vertikal spredning til dybereliggende grundvand. Borerne B5xx og B6xx er etableret hhv. 2018 og 2019 /4 og 5/.

Moniteringsprogram – Tank 27	
Boring - formål	Filtersat (m u.t.)
B118 – horisontal afgrænsning	8,0-10,0
B119 – horisontal afgrænsning	5,5-10,5
B120 – udvikling i hotspot	3,0-6,0
B213 – horisontal afgrænsning	3,0-5,0
B214 – udvikling i hotspot	2,0-4,0
B215 – horisontal afgrænsning	2,0-4,0
B216 – horisontal afgrænsning	2,0-5,0
B217 – horisontal afgrænsning	7,0-9,0
B222 – horisontal afgrænsning	1,5-3,5
B223 – horisontal afgrænsning	1,0-5,0
B224 – udvikling i hotspot	2,0-4,0
B401 – udvikling i hotspot og vertikal afgrænsning	3,0-5,0 og 10,0-12,0
B501 – horisontal afgrænsning	2,0-4,0 og 5,0-6,0
B502 – horisontal afgrænsning	2,0-4,0 og 5,0-6,0
B503 – horisontal afgrænsning	2,0-4,0 og 5,0-6,0
B503c – horisontal afgrænsning	6,3-8,3
B601a – horisontal afgrænsning	2,5-4,5
B601b – horisontal afgrænsning	5,3-7,3
B602a – horisontal afgrænsning	2,0-4,0
B602b – horisontal afgrænsning	5,0-6,0
B603 – horisontal afgrænsning	2,0-4,0 og 4,5-5,5
B604 – horisontal afgrænsning	8,0-10,0
B605 – horisontal afgrænsning	2,5-4,5 og 5,5-7,5
Pumpebrønd – udvikling i hotspot	-

Tabel 2.1: Moniteringsboringer ved Tank 27.

### 2.1.1 Sløjfning af filter B401-1

Boring B401 var tidligere også filtersat i dybden 16 – 18 m u.t. (B401-1). Filteret er dog blevet sløjfet på baggrund af mistanke om krydskontaminering /7/.

## 2.2 Pejlinger

Pejling af grundvandsspejlet i filtrene ved Tank 27 blev udført 17. oktober 2023. Pejlingerne omfatter alle filtre, som er prøvetaget i nærværende moniteringsrunde. Der er ved nærværende monitering pejet 30 boringsfiltre ved Tank 27, inkl. pumpebrønden.

To filtre var tørre ved nærværende pejlerunde, jf. bilag 7. Dette er filtrene B603-02 og B605-02. Ved sidste monitering i september 2022 var syv filtre tørre eller for lavtydende til, at der kunne udtages vandprøver (B216, B223, B501-2, B503-2, B601a, B603-02 og B605-02).

Der er ikke påvist fri fase olie i nogen af borerne. Der er dog registreret olielugt i B120, jf. bilag 7.

Resultaterne af pejlingerne fremgår af feltpapirerne i bilag 7, koterne for målepunkterne er vist i bilag 6 og det for nærværende beregnede grundvandspotentiale er vist i bilag 3.

Alle pejlinger er udført med Elwa-pejl. Metodebeskrivelser for pejling af potentiale er beskrevet i /12/.

### **2.3 Vandprøver**

Nærværende moniteringsrunde har omfattet i alt 28 vandprøver, udtaget 17-23. oktober 2023. I forbindelse med udtagningen af vandprøverne er der udført feltmålinger af ilt, ledningsevne, pH, redoxpotentiale og temperatur. Data fremgår af feltskemaerne i bilag 7. Metodebeskrivelse for vandprøvetagning og feltmålinger findes i /10/.

Ved Tank 27 har der i pumpebrønden og i 9 filtre været en normal/god ydelse, mens der i 18 filtre har været en lav/ringe ydelse. Filtrene i B603-02 og B605-02 var tørre, hvorfor det ikke var muligt at udtage vandprøver fra disse.

Alle vandprøver er analyseret akkrediteret ved ALS, Denmark.

## 2.4 Potentiale og strømningsretning

På baggrund af de udførte pejlinger fra nærværende moniteringsrunde er grundvandspotentialet beregnet. De målte pejleresultater fremgår af feltskemaerne i bilag 7, mens de beregnede potentialer ses på situationsplanen i bilag 3.

Alle filtre vurderes at være placeret i samme sandmagasin på nær filter 2 i boring B401, som er filtersat i det underliggende moræneler. Da terrænet hælder en del mod øst, er der stor forskel på afstanden til grundvandsspejlet fra terræn, som varierer fra ca. 2,3 til 8,3 m i borerne. De målte vandspejl indikerer en strømningsretning mod østsydøst, hvilket stemmer overens med forureningsspredningen. Den vurderede strømningsretning er angivet med pile på situationsplanen i bilag 3.

## 2.5 Forureningsforhold

På situationsplanerne vedlagt i bilag 4a-c ses den tolkede udbredelse af forureningen med benzin ved Tank 27 i nærværende moniteringsrunde. Analyseresultater fremgår desuden af analyserapporterne i bilag 9 og analyseresultater fra nærværende samt tidlige moniteringer er samlet i bilag 8.

Det højeste påviste indhold af total kulbrinter i 2023 er 130.000 µg/l i B120, hvor der også tidligere er påvist de højeste indhold. Der er ikke påvist oliefilm i forbindelse med pejlingerne, men der blev observeret olielugt i filtret i boring B120.

Grundvandsforureningen var i 2019 afgrænset nedstrøms af boring B605. Forureningsfanen har dog bevæget sig længere nedstrøms, og i 2021 blev der i det nederste filter i B605 påvist indhold på 110 µg/l, hvilket i 2022 er øget til 228 µg/l og i 2023 yderligere til 410 µg/l.

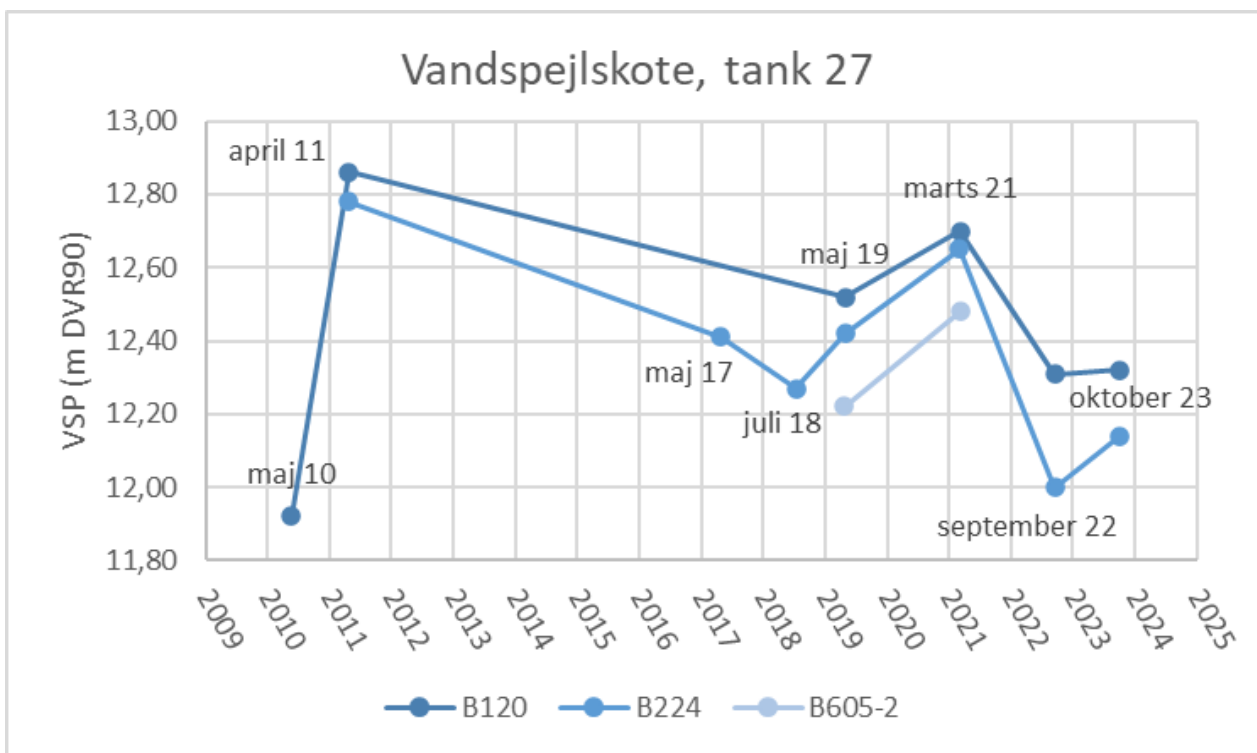
I 2021 blev der ikke påvist indhold af total kulbrinter over detektionsgrænsen i vandprøven fra det terrænnære filter i B605, mens filteret var tørt i 2022 og 2023. Det er derfor uvist, om det mest terrænnære grundvand fortsat ikke er påvirket af forureningen. I boring B503 og B601, der ligger ca. 10-12 m opstrøms B605, er der dog ikke påvist indhold af total kulbrinter i det terrænnære filter over detektionsgrænsen, hvilket tyder på, at forureningsfanen dykker.

## 3. Forureningsudvikling

I dette kapitel foretages en sammenfattende vurdering af resultaterne fra hele moniteringsperioden, omfattende moniteringsrunder samt orienterende og supplerende undersøgelser, udført fra 2010 til 2023.

### 3.1 Potentialeforhold og strømningsretning

Grundvandspotentialet fra 2023 fremgår af situationsplanen i bilag 3, mens grundvandspotentialet i udvalgte borer ved Tank 27 over tid er vist i figur 3.1.



Figur 3.1 Vandspejl i udvalgte borer jævnt fordelt ved Tank 27. B605-2 var tørt ved pejlingen i 2023.

Udviklingen i vandspejlet i borerne ved Tank 27 viser, at vandspejlet i oktober 2023 står relativt lavt i forhold til tidligere målinger. Vandspejlet står dog højere end september 2022, hvor der blev målt de laveste vandspejl siden de første vandspejlsmålinger i 2010. Variationerne vurderes primært at være årstidsafhængige, hvor de højeste vandspejl ses i forårsmoniteringerne.

Den vurderede strømningsretning er østsydøstlig, som angivet med pile på situationsplanen i bilag 4a, vurderet ud fra vandspejlkoter og især forureningsfanens spredning.

## 3.2 Forurening

Alle analyseresultater fra nærværende og tidligere moniteringer og undersøgelser er samlet i bilag 8, mens analyserapporterne fra nærværende monitering er vedlagt i bilag 9. Det påviste indhold af total kulbrinter i nærværende og tidligere moniteringer og undersøgelser ved Tank 27 fremgår af situationsplanen i bilag 4a, hvor også den vurderede forureningsudbredelse i grundvandet fremgår. Endvidere er der vist profilsnit af grundvandsforureningen i bilag 4b og 4c.

Der er udført en statistisk evaluering for udviklingen i indholdet af total kulbrinter i grundvandet i samtlige boringer. Evalueringen, som er vedlagt i bilag 5, er udført ved brug af GSI Mann-Kendall værktøjet. Resultaterne er i relevant omfang inddraget i nedenstående beskrivelse af forureningsudviklingen. Det er nødvendigt med mindst 4 analyser for, at værktøjet kan anvendes til vurdering af udviklingen.

### Kildeområdet

Moniteringen i 2023 viser fortsat en forureningsfane med benzin, der har udgangspunkt i kildeområdet omkring Tank 27 og som herfra løber ca. 70 m mod sydøst. Nær tanken blev der i 2013 målt indhold på op til 200.000 µg/l, hvilket er et niveau omkring opløseligheden af benzin, hvilket tyder på forekomst af fri fase benzin i området omkring tanken. I forureningsfanens kerne måles der fortsat meget høje koncentrationer af totalkulbrinter på milligram-niveau. Da indholdet er på niveau med indholdet i 2010 tyder det på, at der findes fri fase, som fortsat føder fanen.

I pumpebrønden i kildeområdet er der i nærværende moniteringsrunde konstateret 170 µg/l. Der har i pumpebrønden været målt hovedsageligt faldende koncentrationer siden 2014, hvor der blev målt 24.000 µg/l og konstateret olielugt. En statistisk evaluering af resultaterne med GSI Mann-Kendall metoden understøtter, jfr. bilag 5, at koncentrationsudviklingen i pumpebrønden er faldende.

### Horisontal forureningsudbredelse

Boringerne, der ligger i forureningsfanens kerne, viser fortsat indhold af totalkulbrinter på miligram-niveau. I B401, der ligger i forureningsfanens kerne ca. midtvejs i fanens udbredelse nedstrøms kildeområdet, er der i det øverste filter konstateret et indhold af total kulbrinter på 84.000 µg/l. Iht. GSI Mann-Kendall metoden er der "ingen trend" i udviklingen. I B120, der ligger lidt opstrøms B401, er der konstateret 130.000 µg/l og her vurderer GSI Mann-Kendall metoden ligeledes, at der "ingen trend" er i udviklingen. Da indholdet i center af fanen er på niveau med indholdet i 2010, tyder det på, at der fortsat findes fri fase, som føder fanen, jf. ovenstående afsnit. I B224, der ligger længere nedstrøms i forureningsfanen, er der målt 15.000 µg/l og her er udviklingen iht. GSI Mann-Kendall metoden "stigende" (ændret fra "formodentligt stigende" i 2021).

I B215, der er placeret nær forureningsfanens kerne, påvises ikke indhold af kulbrinter. Dette vurderes at tilskrives, at forureningen ligger dybere end filtersætningen i boringen.

Analyseresultater fra de boringer der blev etableret i 2018 og 2019, 5xx og 6xx, viste i 2019, at forureningsfanen var spredt med et indhold på milligramniveau til boringerne B503 og B601, men ikke til boring B605, placeret længere nedstrøms, udenfor hegnet der afgrænses etablissementet. I 2021 havde forureningsfanen spredt sig til B605 med et indhold på 110 µg

totalkulbrinter/l, som i nærværende monitering er steget til 410 µg totalkulbrinter/l i B605-1. Det vil sige, at forureningen ikke er afgrænset nedstrøms og dermed breder sig ud over etablissementsgrænsen. Ifølge GSI Mann-Kendall metoden er indholdet ”stigende”.

I moniteringsboringerne B213, B215 og B222, der er placeret i udkanten af forureningsfanen langs siderne af forureningsfanen, er der som i de tidligere moniteringer ikke påvist indhold af totalkulbrinter. I boring B217, der ligeledes er placeret i udkanten af fanen mod nord, er der for første gang påvist indhold af total kulbrinter over detektionsgrænsen på 8,2 µg/l. Opstrøms forureningsfanen er der i B118 og B119 ligeledes for første gang påvist indhold af total kulbrinter over detektionsgrænsen på hhv. 17 og 29 µg/l. I 2022 blev der i boring B604, beliggende mellem tanken og boring B118, påvist et indhold af total kulbrinter på 7,2 µg/l, som ikke er genfundet i nærværende monitering. Det vurderes derfor sandsynligt, at de påviste indhold i boringerne B217, B118 og B119 er enkeltstående forekomster, eventuelt grundet ekstreme regnhændelser i perioden op til prøvetagningen, og ikke tegn på en generel større udbredelse af forureningen. Tendensen bør dog følges i de kommende moniteringer.

Der er således fortsat ikke tegn på, at forureningen spredes nævneværdigt horisontalt i sideværts og i opstrøms retninger. Der har i nogle af boringerne ved de gennemførte moniteringsrunder været spor af BTEX'er under grundvands-kvalitetskriteriet. Spor af BTEX'er i boringerne i udkanten af forureningsfanen kan skyldes afsmitning fra forureningsfanen via poreluften i den umættede zone.

### Vertikal forureningsudbredelse

Boring B401 er udeover at være filtersat i sandmagasinet 3,0-5,0 m u.t. også filtersat i moræneret 10,0-12,0 m u.t. Her er der i moniteringsrunden i 2017 og de tidligere moniteringer ikke påtruffet totalkulbrinter over detektionsgrænsen (5 µg/l), men dog et indhold af benzen på op til 4,1 µg/l. Der er ifbm. undersøgelserne udført i 2019-2022 påvist et indhold af totalkulbrinter på mellem 8,5-49 µg/l, som tydede på, at der skete en vertikal spredning af forureningen. Ifølge Mann-Kendall metoden var der i 2022 en ”stigende” trend. I nærværende monitering er der dog ikke påvist indhold af total kulbrinter over detektionsgrænsen, hvorfor der ikke længere er en stigende tendens, men i stedet ”no trend” ifølge Mann-Kendall værkøjjet, jf. bilag 5. Set i lyset af de høje koncentrationer (130.000 µg/l), der påvises i filteret i sandmagasinet i samme boring, vurderes moræneformationen under sandlaget derfor at yde en god beskyttelse mod vertikal spredning af forureningen.

I 2021-2023 er der påvist forurening med kulbrinter i det dybe filter i boring B605 (5,5-7,5 m u.t.) uden for etablissementet. Der blev i 2021 ikke påvist indhold af total kulbrinter over detektionsgrænsen i det øvre filter 2,5-4,5 m u.t., mens filtret i 2022 og 2023 var tørt og der derfor ikke er udtaget vandprøve fra toppen af magasinet. Ca. 10 m opstrøms B605 ligger B503 og B601, hvor der i nærværende monitering ikke blev påvist indhold af kulbrinter over detektionsgrænsen i de terrænnære filtre trods høje koncentrationer i det dybere filter. Dette indikerer, at forureningsfanen fortsat dykker. Det vurderes derfor sandsynligt, at den øverste del af magasinet under den nedstrøms beliggende naboejendom også stadig er ren.

## Nedbrydning

Feltmålingerne udført i forbindelse med vandprøvetagningen tyder på, at der i det terrænnære grundvandsmagasin er god iltmætning i grundvandet uden for forureningsfanen, mens iltmætningen i selve fanen og i randzonen er væsentligt lavere. Det tyder derfor på, at der sker naturlig nedbrydning af grundvandsforureningen med benzin.

## 4. Konklusioner

Moniteringen i 2023 viser fortsat en forureningsfane med benzin, der har udgangspunkt i kildeområdet omkring Tank 27 og som herfra løber ca. 70 m mod østsydøst. I forureningsfanens center måles der fortsat meget høje koncentrationer af totalkulbrinter på milligram-niveau, hvorfor det vurderes, at der fortsat er fri fase benzin i kildeområdet. Til trods for, at det vurderes, at der sker en vis naturlig nedbrydning, er der siden moniteringsrunden i 2017 sket en yderligere horizontal spredning af forurenningen nedstrøms kilden. Forurenningen er i 2021 og fremefter påvist i boring B605, der er placeret uden for etablissementet, hvilket vil sige, at forureningsfanen ikke længere er afgrænset nedstrøms indenfor forsvarets ejendom.

Der kunne i nærværende monitering, i lighed med ved moniteringen i 2022, ikke udtages vandprøve fra det øvre filter i B605 på grund af for lavt vandspejl, men på baggrund af tidligere analyseresultater samt analyseresultater fra opstrøms borer, vurderes forureningsfanen fortsat at dykke.

Forurenningen vurderes på baggrund af tidligere moniteringer i mindre grad at være spredt vertikalt i morænelerslaget ca. 10-12 m u.t. i center af fanen, mens der i nærværende monitering ikke er påvist indhold af total kulbrinter over detekitionsgrænsen. Som tidligere vurderes den påviste grundvandsforurening derfor ikke umiddelbart at udgøre en risiko over for drikkevandsressourcen i området, da der er et tykt dæklag over det primære magasin /5/. Det kan dog ikke udelukkes, at den påviste forurening på længere sigt kan påvirke det primære grundvandsmagasin.

### Naboejendom nedstrøms Tank 27

I forbindelse med de afgrænsende undersøgelser af forureningsfanen med benzin udført i 2019 /5/, blev der udført et transekt af poreluftsonderinger på tværs af forureningsfanens strømningsretning umiddelbart nedstrøms fanen i 2019 nær boring B605 (udført ca. 1 m fra skel). Poreluftsonderingerne blev udført med henblik på at vurdere, hvorvidt forureningsfanen kan udgøre en risiko overfor indeluften i den bolig, der ligger ca. 15 m nedstrøms B605. På baggrund af poreluftundersøgelsen blev det vurderet, at forurenningen i 2019 ikke udgjorde en risiko overfor indeluften i den nedstrøms beliggende bolig /5/. Grundvandsforureningen er dog ikke længere afgrænset nedstrøms af boring B605, hvorfor det vurderes, at forurenningen spredes ind på nabolokaliteten. Forurenningen vurderes fortsat ikke at ligge lige under vandspejlet nedstrøms etablissementet og vurderes derfor fortsat umiddelbart ikke at udgøre en risiko overfor inde- og udeklima på ejendommen.

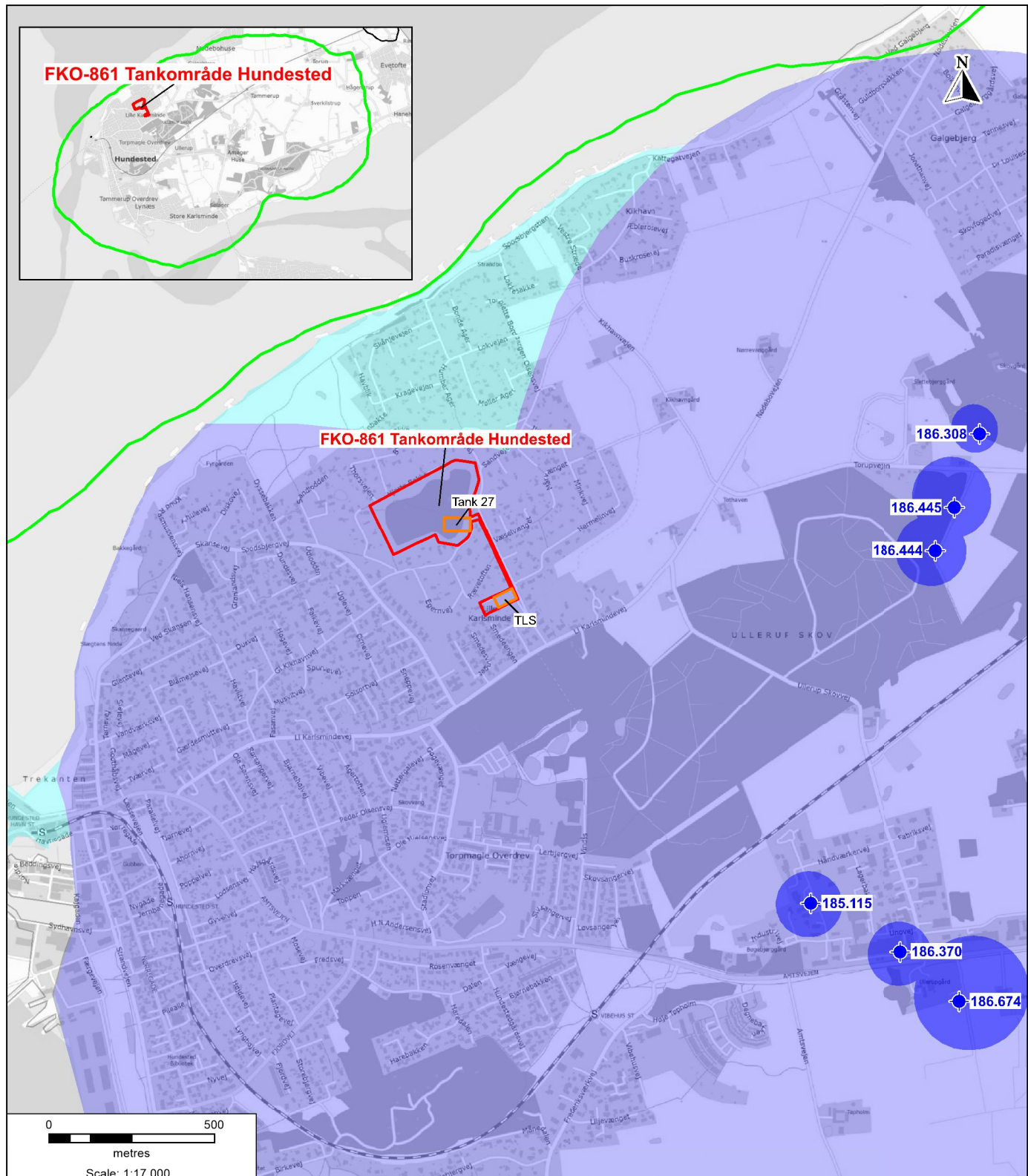
Det vurderes, at fanen fortsat vil bevæge sig længere ind på naboejendommen mod østsydøst og det kan ikke udelukkes, at fanen på sigt kan stige til toppen af grundvandsmagasinet, hvormed den kan udgøre en risiko overfor indeklimaet i beboelseshuset. Dette vil afhænge af geologien i området under naboejendommen, hvilken ikke kendes.

## 5. Referencer

- 1 861 Tankområde Hundested. Orienterende forureningsundersøgelse. FBE september 2010.
- 2 861 Tankområde Hundested. Supplerende undersøgelser. FBE november 2011.
- 3 861 Tankområde Hundested. Supplerende undersøgelser ved Tank 27. FBE august 2013.
- 4 861 Tankområde Hundested. Afgrænsning af forureningsfane ved Tank 27. Forsvarsministeriets Ejendomsstyrelse, oktober 2018.
- 5 861 Tankområde Hundested. Afgrænsning af forureningsfane ved Tank 27, 2019. Forsvarsministeriets Ejendomsstyrelse, september 2019.
- 6 861 Tankområde Hundested. Grundvandsmonitering ved TLS 1, 2012. Oktober 2012.
- 7 861 Tankområde Hundested. Grundvandsmoniteringsrunde nr. 2. Forsvarets Bygnings- og Etablissementstjeneste, september 2014.
- 8 861 Tankområde Hundested. Grundvandsmoniteringsrunde nr. 3. Forsvarsministeriets Ejendomsstyrelse, juni 2017.
- 9 861 Tankområde Hundested, Grundvandsmonitering runde 4, Forsvarsministeriet Ejendomsstyrelsen, 2021.
- 10 861 Tankområde Hundested, Monitering 2022 ved Tank 27. Forsvarsministeriet Ejendomsstyrelsen. November 2022.
- 11 Liste over kvalitetskriterier i relation til forurenede jord. Miljøstyrelsen, Miljø- og Fødevarestyrelsen. Opdateret juli 2021.
- 12 Vandprøvetagning fra borer, Metodebeskrivelse 5. 2. september 2019. Rammeaftale 4600005345 mellem Forsvarsministeriets Ejendomsstyrelse og NIRAS A/S.
- 13 Forureningsundersøgelser – Til nedsivning af grundvand. Rørcentret, Teknologisk Institut.

## BILAG 1

Oversigtskort med moniteringsområder, indvindingsboringer og  
indvindingsoplande



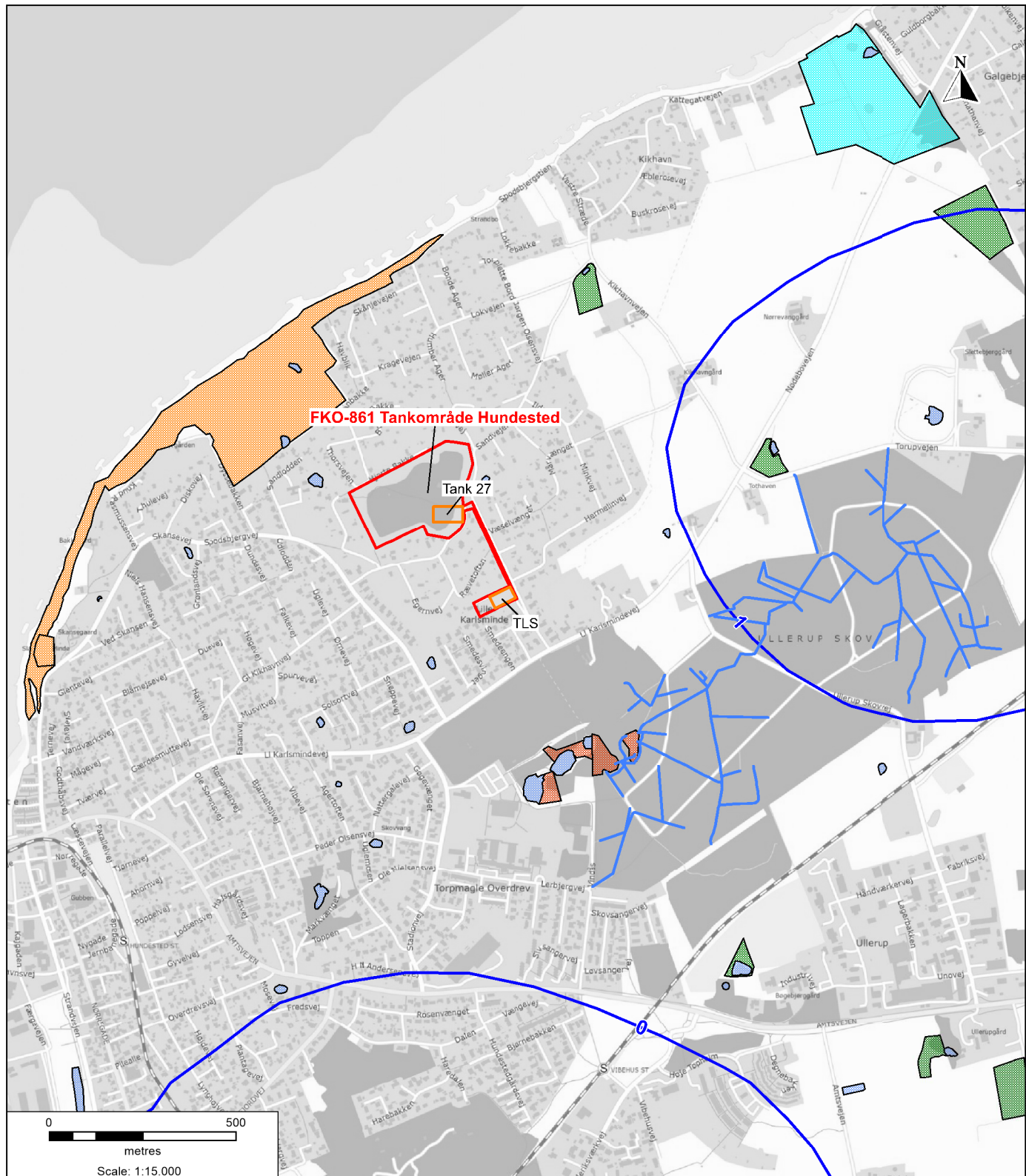
## 861 Tankområde Hundested Oversigtskort med moniterings- områder, indvindingsboringer og indvindingsoplæn samt grundvandsinteresser Bilag 1

Dato: 29-04-2021  
Udført af NIRAS (10411272)

- Etablissementsgrænse
- Områder med særlige drikkevandsinteresser
- Områder med drikkevandsinteresser
- Indvindingsoplæn udenfor OSD
- Undersøgelsesområde
- Almen drikkevandsborring
- BNBO

## BILAG 2

Oversigtskort med beskyttede naturtyper, vandløb og  
grundvandspotentialelinjer



## 861 Tankområde Hundested Oversigtskort med beskyttede naturtyper og vandløb og grundvandspotentiale for primært grundvand Bilag 2

Dato: 29-04-2021  
Udført af NIRAS (10411272)

- |  |  |  |                   |
|--|--|--|-------------------|
|  | Etablissemetsgrænse                                      |  | Beskyttet vandløb |
|  | §3 beskyttet eng   |  |                   |
|  | §3 beskyttet sø  |  |                   |
|  | §3 beskyttet hede  |  |                   |
|  | §3 beskyttet overdrev                                    |  |                   |
|  | §3 beskyttet strandeng                                   |  |                   |
|  | Grundvandspotentiale, primært grundvand (2008, Region H) |  |                   |

## BILAG 3

### Grundvandspotentiale i sekundært magasin

**861 Tankområde Hundested  
Potentialekort, Tank 27  
Bilag 4**

Dato: 02-11-2023  
Udført af: AHM/KMS

**Signaturforklaring**

- Geoprobeboring
- Monitøringsboring, filtersat

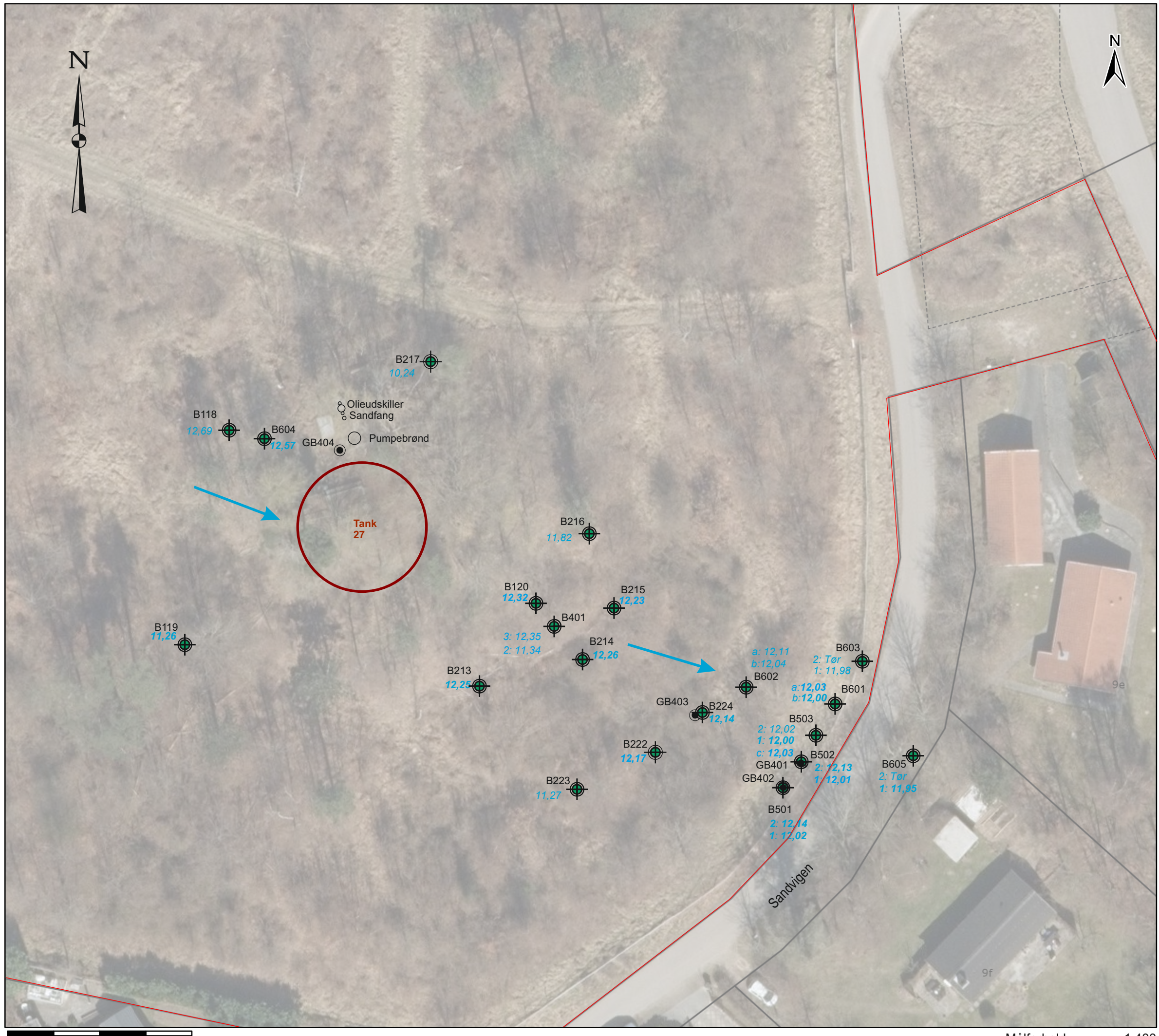
Pejling 17/10-2023, m DVR90:

**12,62** Øvre filter  
**12,41** Nedre filter

*i.p.* Ikke pejet

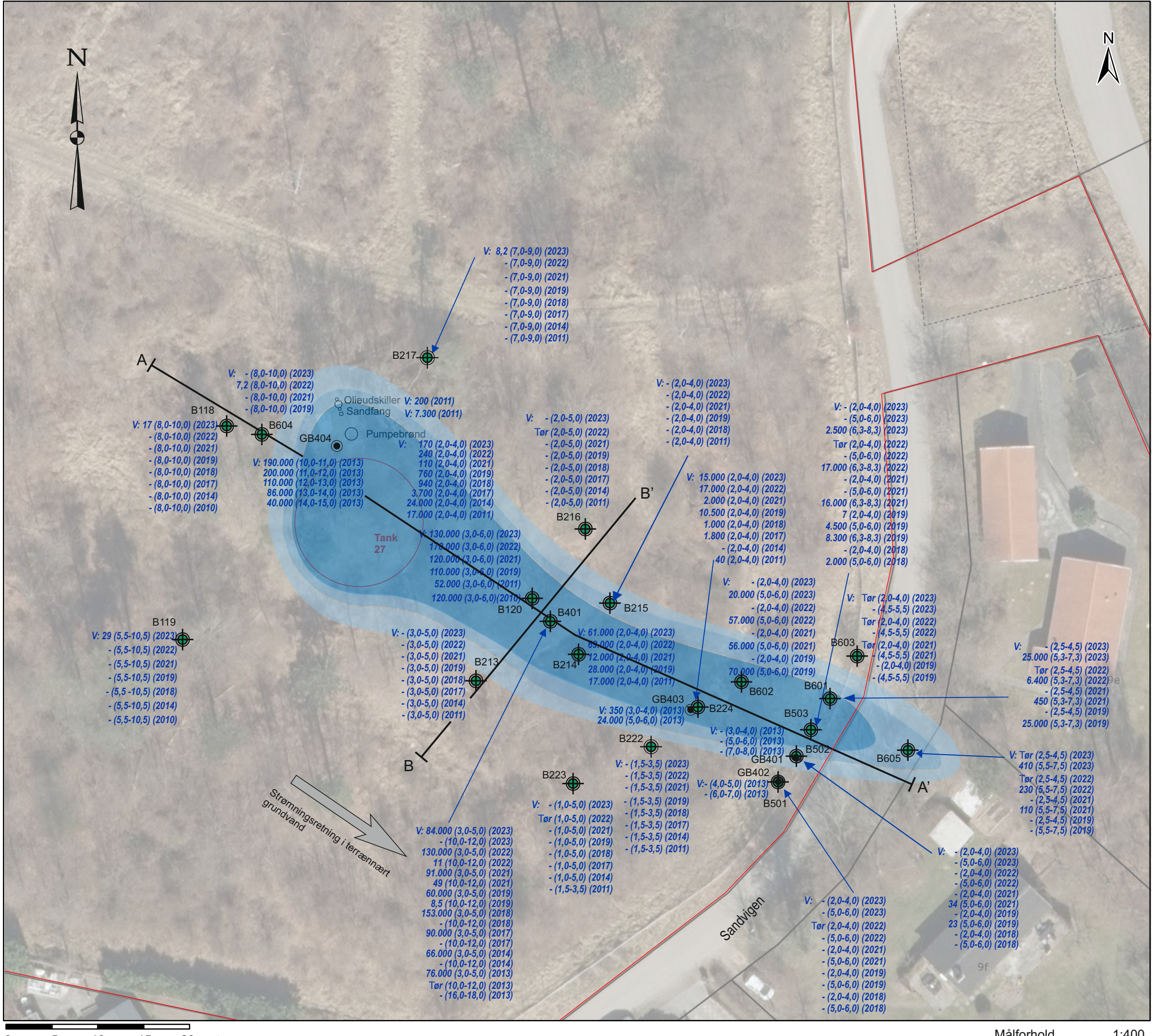
→ Strømningsretning iht.  
forureningsfanen

— Etablisementsgrænse



## BILAG 4

### Forureningsudbredelse



# **861 Tankområde Hundested Forureningsudbredelse, benzin, Tank 27**

## Bilag 4a

Dato: okt. 2023  
Udført af: AHM/KMS

## Signaturforklaring

-  Geoprobeboring
  -  Moniteringsboring, filtersat

V: 1300 (3,0-5,0) ← Vandprøve  
Total kulbrinter ( $\mu\text{g/l}$ )  
Dybde (m u.t.)

- Koncentrationer under detektionsgrænsen

A horizontal bar chart illustrating the distribution of values across three categories. The categories are represented by blue bars of increasing length from left to right, corresponding to the values in the legend.

Value Range	Approximate Bar Length
>1000	Shortest bar
100-1000	Middle bar
10-100	Longest bar

#### Etablissementsgrænse

## **861 Tankområde Hundested**

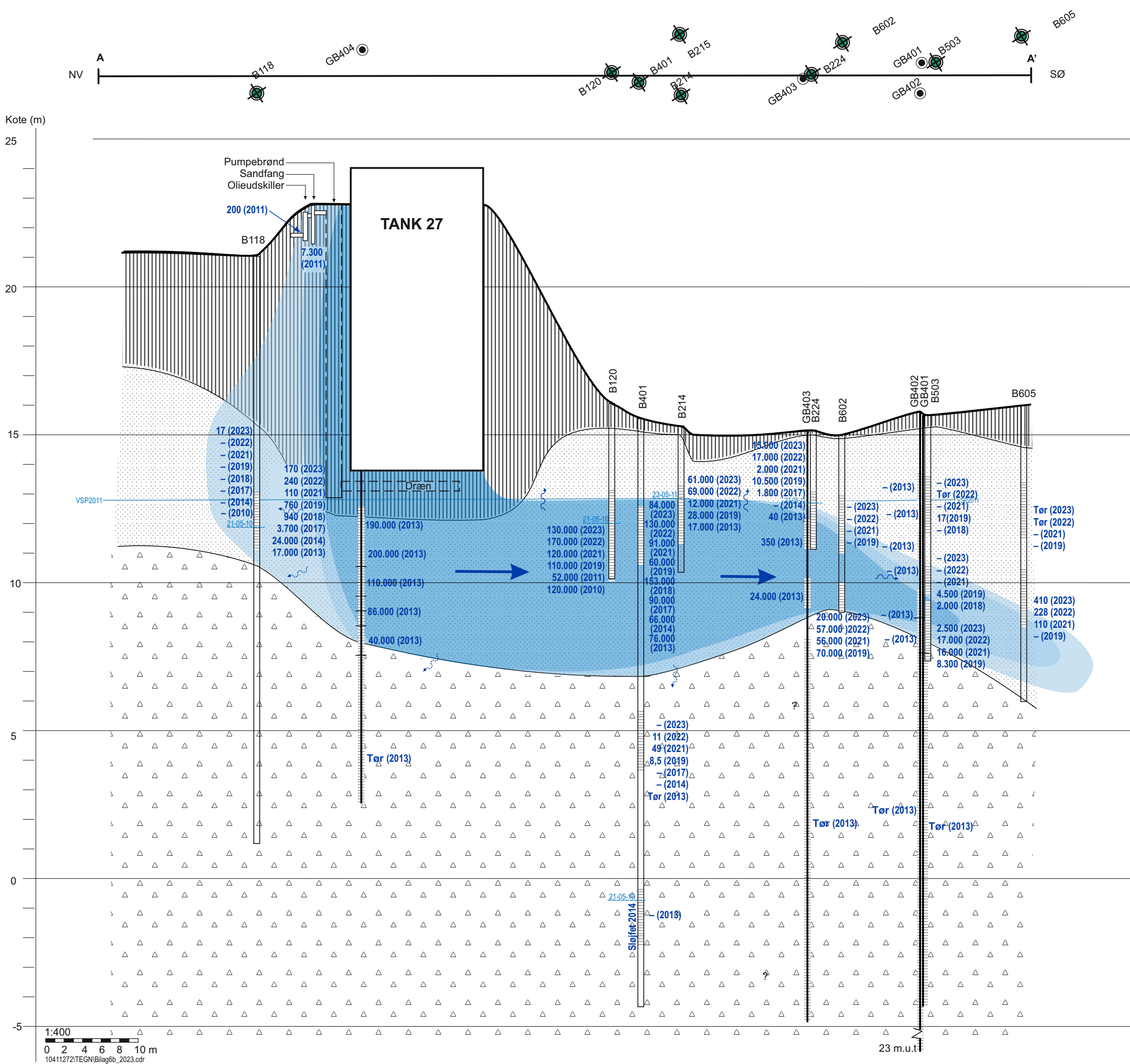
## Konceptuel model, benzin, tank 27

## **Snit A-A**

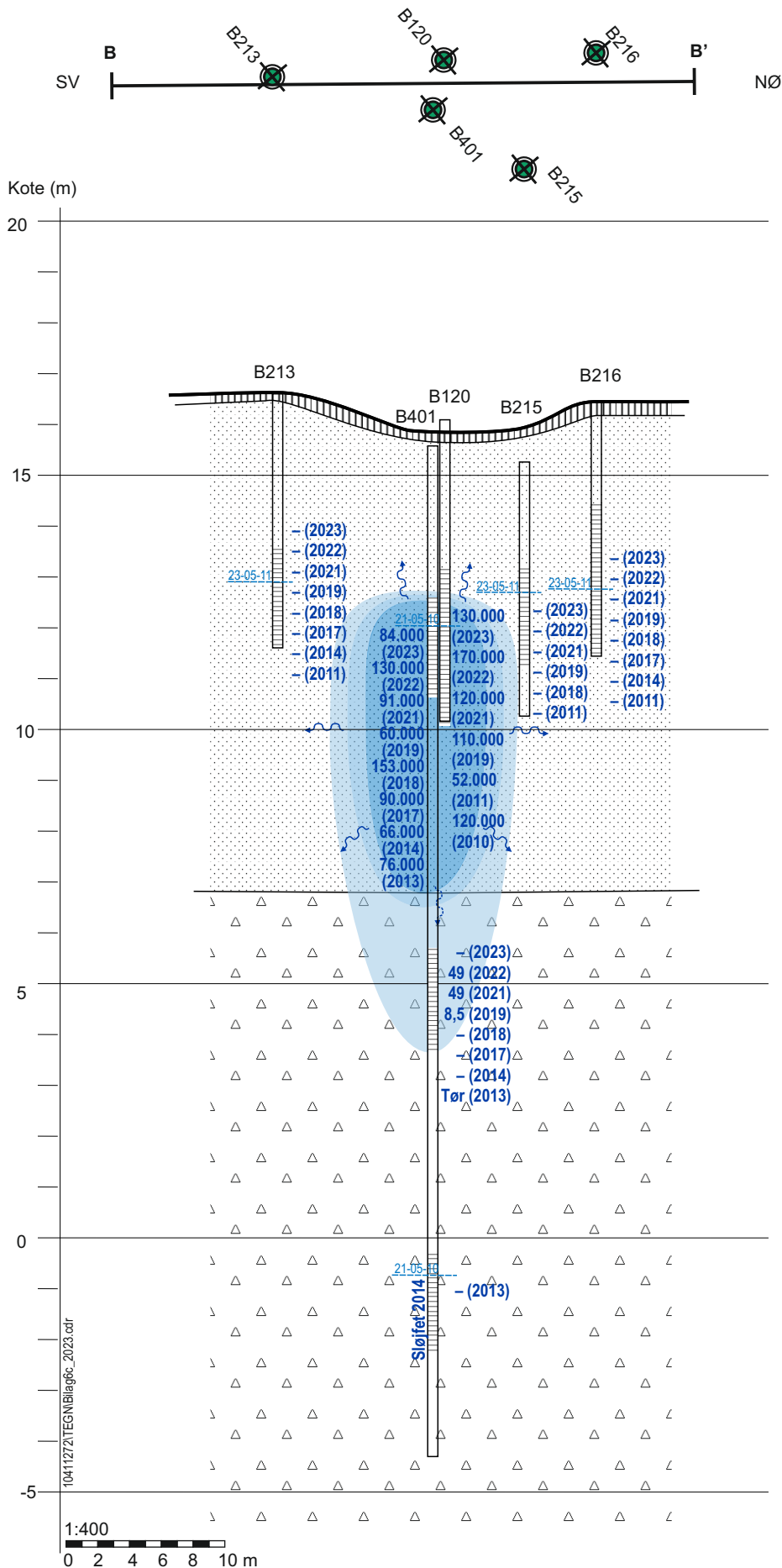
## Bilag 4b

Dato: nov 2023  
Udført af: SAJO

## Signaturforklaring



# 861 Tankområde Hundested



## Konceptuel model, benzin, tank 27

### Snit B-B

### Bilag 4c

Dato: Nov 2023  
Udført af: SAJO

### Signaturforklaring

Skønnet udbredelse af total kulbrinter i vand ( $\mu\text{g/l}$ )

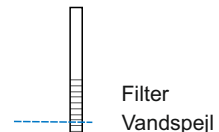
>1000	
100-1000	
10-100	

100 Total kulbrinter ( $\mu\text{g/l}$ )

- Koncentration under detektionsgrænsen

~~~~ Spredningsretning

### Boring



Fyld

Sand

Moræneler

## BILAG 5

### GSI Mann-Kendall Toolkit Trend Analysis

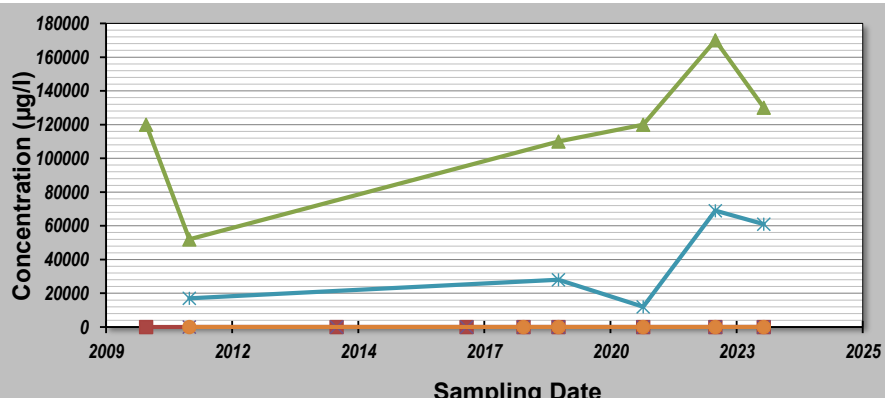
# GSI MANN-KENDALL TOOLKIT

## for Constituent Trend Analysis

Evaluation Date: **31. oktober 2023**  
 Facility Name: **Tankområde Hundested, Tank 27**  
 Conducted By: **JDJ/KMS**

Job ID: **10418196**  
 Constituent: **Totalkulbrinter**  
 Concentration Units: **ug/l**

| Sampling Point ID:          |               | B118                                 | B119     | B120         | B213     | B214         | B215 |  |
|-----------------------------|---------------|--------------------------------------|----------|--------------|----------|--------------|------|--|
| Sampling Event              | Sampling Date | TOTALKULBRINTER CONCENTRATION (ug/l) |          |              |          |              |      |  |
| 1                           | 20-May-10     | 0                                    | 0        | 120000       |          |              |      |  |
| 2                           | 27-Apr-11     |                                      |          | 52000        | 0        | 17000        | 0    |  |
| 3                           | 21-Aug-12     |                                      |          |              |          |              |      |  |
| 4                           | 8-Jul-14      | 0                                    | 0        |              | 0        |              |      |  |
| 5                           | 4-May-17      | 0                                    | 0        |              | 0        |              |      |  |
| 6                           | 30-Jul-18     | 0                                    | 0        |              | 0        |              | 0    |  |
| 7                           | 3-May-19      | 0                                    | 0        | 110000       | 0        | 28000        | 0    |  |
| 8                           | 5-Mar-21      | 0                                    | 0        | 120000       | 0        | 12000        | 0    |  |
| 9                           | 28-Sep-22     | 0                                    | 0        | 170000       | 0        | 69000        | 0    |  |
| 10                          | 17-Oct-23     | 17                                   | 29       | 130000       | 0        | 61000        | 0    |  |
| 11                          |               |                                      |          |              |          |              |      |  |
| 12                          |               |                                      |          |              |          |              |      |  |
| 13                          |               |                                      |          |              |          |              |      |  |
| 14                          |               |                                      |          |              |          |              |      |  |
| 15                          |               |                                      |          |              |          |              |      |  |
| 16                          |               |                                      |          |              |          |              |      |  |
| 17                          |               |                                      |          |              |          |              |      |  |
| 18                          |               |                                      |          |              |          |              |      |  |
| 19                          |               |                                      |          |              |          |              |      |  |
| 20                          |               |                                      |          |              |          |              |      |  |
| Coefficient of Variation:   | 2,83          | 2,83                                 | 0,33     | #DIVISION/0! | 0,70     | #DIVISION/0! |      |  |
| Mann-Kendall Statistic (S): | 7             | 7                                    | 8        | 0            | 4        | 0            |      |  |
| Confidence Factor:          | 76,4%         | 76,4%                                | 89,8%    | 45,2%        | 75,8%    | 39,3%        |      |  |
| Concentration Trend:        | No Trend      | No Trend                             | No Trend | #DIVISION/0! | No Trend | #DIVISION/0! |      |  |



**Notes:**

- At least four independent sampling events per well are required for calculating the trend. *Methodology is valid for 4 to 40 samples.*
- Confidence in Trend = Confidence (in percent) that constituent concentration is increasing ( $S>0$ ) or decreasing ( $S<0$ ):  $>95\% =$  Increasing or Decreasing;  $\geq 90\% =$  Probably Increasing or Probably Decreasing;  $< 90\% \text{ and } S>0 =$  No Trend;  $< 90\%, S\leq 0, \text{ and } COV \geq 1 =$  No Trend;  $< 90\% \text{ and } COV < 1 =$  Stable.
- Methodology based on "MAROS: A Decision Support System for Optimizing Monitoring Plans", J.J. Aziz, M. Ling, H.S. Rifai, C.J. Newell, and J.R. Gonzales, *Ground Water*, 41(3):355-367, 2003.

**DISCLAIMER:** The GSI Mann-Kendall Toolkit is available "as is". Considerable care has been exercised in preparing this software product; however, no party, including without limitation GSI Environmental Inc., makes any representation or warranty regarding the accuracy, correctness, or completeness of the information contained herein, and no such party shall be liable for any direct, indirect, consequential, incidental or other damages resulting from the use of this product or the information contained herein. Information in this publication is subject to change without notice. GSI Environmental Inc., [www.gsi-net.com](http://www.gsi-net.com)

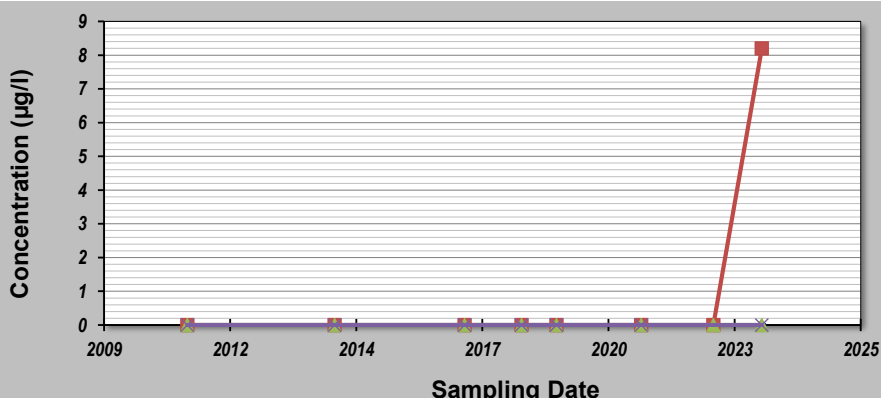
# GSI MANN-KENDALL TOOLKIT

## for Constituent Trend Analysis

Evaluation Date: **31. oktober 2023**  
 Facility Name: **Tankområde Hundested, Tank 27**  
 Conducted By: **JDJ/KMS**

Job ID: **10418196**  
 Constituent: **Totalkulbrinter**  
 Concentration Units: **ug/l**

| Sampling Point ID:          |               | B216                                 | B217         | B222         | B223 |  |  |  |
|-----------------------------|---------------|--------------------------------------|--------------|--------------|------|--|--|--|
| Sampling Event              | Sampling Date | TOTALKULBRINTER CONCENTRATION (ug/l) |              |              |      |  |  |  |
| 1                           | 20-May-10     |                                      |              |              |      |  |  |  |
| 2                           | 27-Apr-11     | 0                                    | 0            | 0            | 0    |  |  |  |
| 3                           | 21-Aug-12     |                                      |              |              |      |  |  |  |
| 4                           | 8-Jul-14      | 0                                    | 0            | 0            | 0    |  |  |  |
| 5                           | 4-May-17      | 0                                    | 0            | 0            | 0    |  |  |  |
| 6                           | 30-Jul-18     | 0                                    | 0            | 0            | 0    |  |  |  |
| 7                           | 3-May-19      | 0                                    | 0            | 0            | 0    |  |  |  |
| 8                           | 5-Mar-21      | 0                                    | 0            | 0            | 0    |  |  |  |
| 9                           | 28-Sep-22     |                                      | 0            | 0            |      |  |  |  |
| 10                          | 17-Oct-23     | 0                                    | 8,2          | 0            | 0    |  |  |  |
| 11                          |               |                                      |              |              |      |  |  |  |
| 12                          |               |                                      |              |              |      |  |  |  |
| 13                          |               |                                      |              |              |      |  |  |  |
| 14                          |               |                                      |              |              |      |  |  |  |
| 15                          |               |                                      |              |              |      |  |  |  |
| 16                          |               |                                      |              |              |      |  |  |  |
| 17                          |               |                                      |              |              |      |  |  |  |
| 18                          |               |                                      |              |              |      |  |  |  |
| 19                          |               |                                      |              |              |      |  |  |  |
| 20                          |               |                                      |              |              |      |  |  |  |
| Coefficient of Variation:   | #DIVISION/0!  | 2,83                                 | #DIVISION/0! | #DIVISION/0! |      |  |  |  |
| Mann-Kendall Statistic (S): | 0             | 7                                    | 0            | 0            |      |  |  |  |
| Confidence Factor:          | 37,9%         | 76,4%                                | 45,2%        | 37,9%        |      |  |  |  |
| Concentration Trend:        | #DIVISION/0!  | No Trend                             | #DIVISION/0! | #DIVISION/0! |      |  |  |  |



**Notes:**

- At least four independent sampling events per well are required for calculating the trend. *Methodology is valid for 4 to 40 samples.*
- Confidence in Trend = Confidence (in percent) that constituent concentration is increasing ( $S>0$ ) or decreasing ( $S<0$ ):  $>95\% =$  Increasing or Decreasing;  $\geq 90\% =$  Probably Increasing or Probably Decreasing;  $< 90\% \text{ and } S>0 =$  No Trend;  $< 90\%, S\leq 0, \text{ and } COV \geq 1 =$  No Trend;  $< 90\% \text{ and } COV < 1 =$  Stable.
- Methodology based on "MAROS: A Decision Support System for Optimizing Monitoring Plans", J.J. Aziz, M. Ling, H.S. Rifai, C.J. Newell, and J.R. Gonzales, *Ground Water*, 41(3):355-367, 2003.

**DISCLAIMER:** The GSI Mann-Kendall Toolkit is available "as is". Considerable care has been exercised in preparing this software product; however, no party, including without limitation GSI Environmental Inc., makes any representation or warranty regarding the accuracy, correctness, or completeness of the information contained herein, and no such party shall be liable for any direct, indirect, consequential, incidental or other damages resulting from the use of this product or the information contained herein. Information in this publication is subject to change without notice. GSI Environmental Inc. disclaims any responsibility or obligation to update the information contained herein.

GSI Environmental Inc., [www.gsi-net.com](http://www.gsi-net.com)

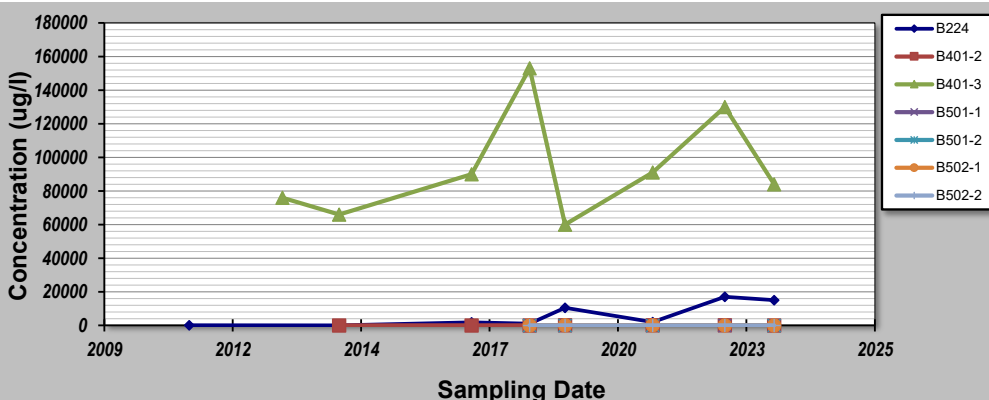
# GSI MANN-KENDALL TOOLKIT

## for Constituent Trend Analysis

Evaluation Date: **31. oktober 2023**  
 Facility Name: **Tankområde Hundested, Tank 27**  
 Conducted By: **JDJ/KMS**

Job ID: **10418196**  
 Constituent: **Totalkulbrinter**  
 Concentration Units: **ug/l**

| Sampling Point ID:          |               | B224                                 | B401-2   | B401-3       | B501-1       | B501-2   | B502-1       | B502-2 |
|-----------------------------|---------------|--------------------------------------|----------|--------------|--------------|----------|--------------|--------|
| Sampling Event              | Sampling Date | TOTALKULBRINTER CONCENTRATION (ug/l) |          |              |              |          |              |        |
| 1                           | 20-May-10     |                                      |          |              |              |          |              |        |
| 2                           | 27-Apr-11     | 40                                   |          |              |              |          |              |        |
| 3                           | 21-Aug-12     |                                      |          |              |              |          |              |        |
| 4                           | 22-Apr-13     |                                      |          | 76000        |              |          |              |        |
| 5                           | 8-Jul-14      | 0                                    | 0        | 66000        |              |          |              |        |
| 6                           | 4-May-17      | 1800                                 | 0        | 90000        |              |          |              |        |
| 7                           | 30-Jul-18     | 1000                                 | 0        | 153000       | 0            | 0        | 0            | 0      |
| 8                           | 3-May-19      | 10500                                | 8,5      | 60000        | 0            | 0        | 23           | 0      |
| 9                           | 15-Mar-21     | 2000                                 | 49       | 91000        | 0            | 0        | 34           | 0      |
| 10                          | 28-Sep-22     | 17000                                | 11       | 130000       | 0            |          | 0            | 0      |
| 11                          | 17-Oct-23     | 15000                                | 0        | 84000        | 0            | 0        | 0            | 0      |
| 12                          |               |                                      |          |              |              |          |              |        |
| 13                          |               |                                      |          |              |              |          |              |        |
| 14                          |               |                                      |          |              |              |          |              |        |
| 15                          |               |                                      |          |              |              |          |              |        |
| 16                          |               |                                      |          |              |              |          |              |        |
| 17                          |               |                                      |          |              |              |          |              |        |
| 18                          |               |                                      |          |              |              |          |              |        |
| 19                          |               |                                      |          |              |              |          |              |        |
| 20                          |               |                                      |          |              |              |          |              |        |
| Coefficient of Variation:   | 1,20          | 1,83                                 | 0,34     | #DIVISION/0! | #DIVISION/0! | 1,41     | #DIVISION/0! |        |
| Mann-Kendall Statistic (S): | 20            | 7                                    | 6        | 0            | 0            | -1       | 0            |        |
| Confidence Factor:          | 99,3%         | 80,9%                                | 72,6%    | 40,8%        | 37,5%        | 50,0%    | 40,8%        |        |
| Concentration Trend:        | Increasing    | No Trend                             | No Trend | #DIVISION/0! | #DIVISION/0! | No Trend | #DIVISION/0! |        |



**Notes:**

- At least four independent sampling events per well are required for calculating the trend. *Methodology is valid for 4 to 40 samples.*
- Confidence in Trend = Confidence (in percent) that constituent concentration is increasing ( $S>0$ ) or decreasing ( $S<0$ ): >95% = Increasing or Decreasing;  $\geq 90\%$  = Probably Increasing or Probably Decreasing;  $< 90\%$  and  $S>0$  = No Trend;  $< 90\%$ ,  $S\leq 0$ , and  $COV \geq 1$  = No Trend;  $< 90\%$  and  $COV < 1$  = Stable.
- Methodology based on "MAROS: A Decision Support System for Optimizing Monitoring Plans", J.J. Aziz, M. Ling, H.S. Rifai, C.J. Newell, and J.R. Gonzales, *Ground Water*, 41(3):355-367, 2003.

**DISCLAIMER:** The GSI Mann-Kendall Toolkit is available "as is". Considerable care has been exercised in preparing this software product; however, no party, including without limitation GSI Environmental Inc., makes any representation or warranty regarding the accuracy, correctness, or completeness of the information contained herein, and no such party shall be liable for any direct, indirect, consequential, incidental or other damages resulting from the use of this product or the information contained herein. Information in this publication is subject to change without notice. GSI Environmental Inc., [www.gsi-net.com](http://www.gsi-net.com)

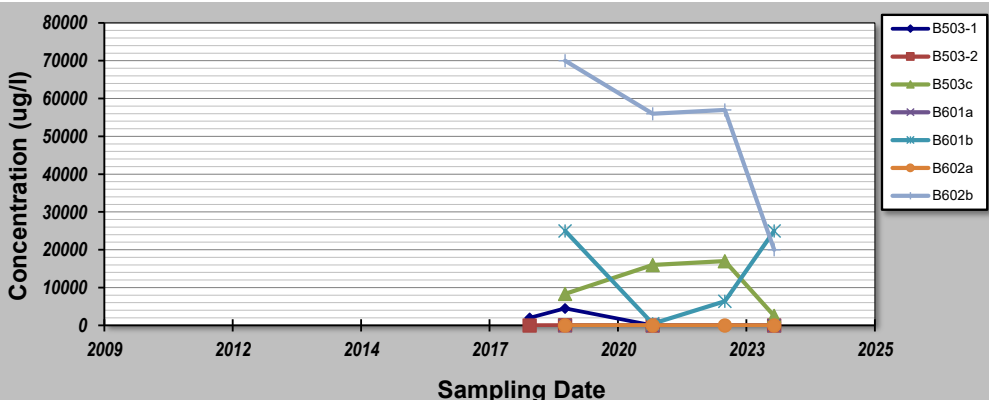
# GSI MANN-KENDALL TOOLKIT

## for Constituent Trend Analysis

Evaluation Date: **31. oktober 2023**  
 Facility Name: **Tankområde Hundested, Tank 27**  
 Conducted By: **JDJ/KMS**

Job ID: **10418196**  
 Constituent: **Totalkulbrinter**  
 Concentration Units: **ug/l**

| Sampling Point ID:          | B503-1        | B503-2                               | B503c  | B601a        | B601b    | B602a        | B602b  |
|-----------------------------|---------------|--------------------------------------|--------|--------------|----------|--------------|--------|
| Sampling Event              | Sampling Date | TOTALKULBRINTER CONCENTRATION (ug/l) |        |              |          |              |        |
| 1                           | 20-May-10     |                                      |        |              |          |              |        |
| 2                           | 27-Apr-11     |                                      |        |              |          |              |        |
| 3                           | 21-Aug-12     |                                      |        |              |          |              |        |
| 4                           | 22-Apr-13     |                                      |        |              |          |              |        |
| 5                           | 8-Jul-14      |                                      |        |              |          |              |        |
| 6                           | 4-May-17      |                                      |        |              |          |              |        |
| 7                           | 30-Jul-18     | 2000                                 | 0      |              |          |              |        |
| 8                           | 3-May-19      | 4500                                 | 17     | 8300         | 0        | 25000        | 0      |
| 9                           | 15-Mar-21     | 0                                    | 0      | 16000        | 0        | 450          | 0      |
| 10                          | 28-Sep-22     | 0                                    |        | 17000        |          | 6400         | 0      |
| 11                          | 17-Oct-23     | 0                                    | 0      | 2500         | 0        | 25000        | 0      |
| 12                          |               |                                      |        |              |          |              |        |
| 13                          |               |                                      |        |              |          |              |        |
| 14                          |               |                                      |        |              |          |              |        |
| 15                          |               |                                      |        |              |          |              |        |
| 16                          |               |                                      |        |              |          |              |        |
| 17                          |               |                                      |        |              |          |              |        |
| 18                          |               |                                      |        |              |          |              |        |
| 19                          |               |                                      |        |              |          |              |        |
| 20                          |               |                                      |        |              |          |              |        |
| Coefficient of Variation:   | 1,53          | 2,00                                 | 0,63   | #DIVISION/0! | 0,89     | #DIVISION/0! | 0,42   |
| Mann-Kendall Statistic (S): | -5            | -1                                   | 0      | 0            | 1        | 0            | -4     |
| Confidence Factor:          | 82,1%         | 50,0%                                | 37,5%  |              | 50,0%    | 37,5%        | 83,3%  |
| Concentration Trend:        | No Trend      | No Trend                             | Stable |              | No Trend | #DIVISION/0! | Stable |



**Notes:**

- At least four independent sampling events per well are required for calculating the trend. *Methodology is valid for 4 to 40 samples.*
- Confidence in Trend = Confidence (in percent) that constituent concentration is increasing ( $S>0$ ) or decreasing ( $S<0$ ):  $>95\% =$  Increasing or Decreasing;  $\geq 90\% =$  Probably Increasing or Probably Decreasing;  $< 90\% \text{ and } S>0 =$  No Trend;  $< 90\%, S\leq 0, \text{ and } COV \geq 1 =$  No Trend;  $< 90\% \text{ and } COV < 1 =$  Stable.
- Methodology based on "MAROS: A Decision Support System for Optimizing Monitoring Plans", J.J. Aziz, M. Ling, H.S. Rifai, C.J. Newell, and J.R. Gonzales, *Ground Water*, 41(3):355-367, 2003.

**DISCLAIMER:** The GSI Mann-Kendall Toolkit is available "as is". Considerable care has been exercised in preparing this software product; however, no party, including without limitation GSI Environmental Inc., makes any representation or warranty regarding the accuracy, correctness, or completeness of the information contained herein, and no such party shall be liable for any direct, indirect, consequential, incidental or other damages resulting from the use of this product or the information contained herein. Information in this publication is subject to change without notice. GSI Environmental Inc., [www.gsi-net.com](http://www.gsi-net.com)

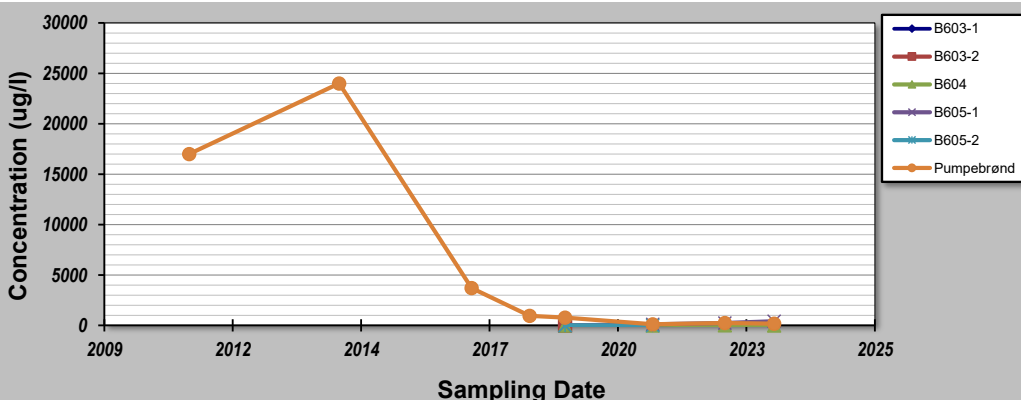
# GSI MANN-KENDALL TOOLKIT

## for Constituent Trend Analysis

Evaluation Date: **31. oktober 2023**  
 Facility Name: **Tankområde Hundested, Tank 27**  
 Conducted By: **JDJ/KMS**

Job ID: **10418196**  
 Constituent: **Totalkulbrinter**  
 Concentration Units: **ug/l**

| Sampling Point ID: B603-1 B603-2 B604 B605-1 B605-2 Pumpebrønd |               |                                      |          |            |              |            |
|----------------------------------------------------------------|---------------|--------------------------------------|----------|------------|--------------|------------|
| Sampling Event                                                 | Sampling Date | TOTALKULBRINTER CONCENTRATION (ug/l) |          |            |              |            |
| 1                                                              | 20-May-10     |                                      |          |            |              |            |
| 2                                                              | 27-Apr-11     |                                      |          |            |              | 17000      |
| 3                                                              | 21-Aug-12     |                                      |          |            |              |            |
| 4                                                              | 22-Apr-13     |                                      |          |            |              |            |
| 5                                                              | 8-Jul-14      |                                      |          |            |              | 24000      |
| 6                                                              | 4-May-17      |                                      |          |            |              | 3700       |
| 7                                                              | 30-Jul-18     |                                      |          |            |              | 940        |
| 8                                                              | 3-May-19      | 0                                    | 0        | 0          | 0            | 760        |
| 9                                                              | 15-Mar-21     | 0                                    |          | 0          | 110          | 0          |
| 10                                                             | 28-Sep-22     | 0                                    |          | 7,2        | 228          | 240        |
| 11                                                             | 17-Oct-23     | 0                                    |          | 0          | 410          | 170        |
| 12                                                             |               |                                      |          |            |              |            |
| 13                                                             |               |                                      |          |            |              |            |
| 14                                                             |               |                                      |          |            |              |            |
| 15                                                             |               |                                      |          |            |              |            |
| 16                                                             |               |                                      |          |            |              |            |
| 17                                                             |               |                                      |          |            |              |            |
| 18                                                             |               |                                      |          |            |              |            |
| 19                                                             |               |                                      |          |            |              |            |
| 20                                                             |               |                                      |          |            |              |            |
| Coefficient of Variation:                                      | #DIVISION/0!  |                                      | 2,00     | 0,94       | #DIVISION/0! | 1,59       |
| Mann-Kendall Statistic (S):                                    | 0             |                                      | 1        | 6          | 0            | -22        |
| Confidence Factor:                                             | 37,5%         |                                      | 50,0%    | 95,8%      |              | 99,8%      |
| Concentration Trend:                                           | #DIVISION/0!  |                                      | No Trend | Increasing |              | Decreasing |



**Notes:**

- At least four independent sampling events per well are required for calculating the trend. *Methodology is valid for 4 to 40 samples.*
- Confidence in Trend = Confidence (in percent) that constituent concentration is increasing ( $S>0$ ) or decreasing ( $S<0$ ):  $>95\% =$  Increasing or Decreasing;  $\geq 90\% =$  Probably Increasing or Probably Decreasing;  $< 90\% \text{ and } S>0 =$  No Trend;  $< 90\%, S\leq 0, \text{ and } COV \geq 1 =$  No Trend;  $< 90\% \text{ and } COV < 1 =$  Stable.
- Methodology based on "MAROS: A Decision Support System for Optimizing Monitoring Plans", J.J. Aziz, M. Ling, H.S. Rifai, C.J. Newell, and J.R. Gonzales, *Ground Water*, 41(3):355-367, 2003.

**DISCLAIMER:** The GSI Mann-Kendall Toolkit is available "as is". Considerable care has been exercised in preparing this software product; however, no party, including without limitation GSI Environmental Inc., makes any representation or warranty regarding the accuracy, correctness, or completeness of the information contained herein, and no such party shall be liable for any direct, indirect, consequential, incidental or other damages resulting from the use of this product or the information contained herein. Information in this publication is subject to change without notice. GSI Environmental Inc., [www.gsi-net.com](http://www.gsi-net.com)

## BILAG 6

### Moniteringsboringer, moniteringshistorik og boringskoordinater

| Område  | Boringsnr  | Filterdybde m u.t. | Orienterende undersøgelse (2010) | Supplerende undersøgelse (2011) | Runde 1 (2012) | Runde 2 (2014) | Runde 3 (2017) | Afgrænsning af forureningsfane ved tank 27 (2019) | Runde 4 (2021) | Monitering 2022 (2022) | Monitering 2023 (2023) | x     | y | z (dp) |
|---------|------------|--------------------|----------------------------------|---------------------------------|----------------|----------------|----------------|---------------------------------------------------|----------------|------------------------|------------------------|-------|---|--------|
| Tank 27 | B118       | 8,0-10,0           |                                  |                                 |                |                |                |                                                   |                | 6.206.870,57           | 678.891,65             | 21,00 |   |        |
|         | B119       | 5,5-10,5           |                                  |                                 |                |                |                |                                                   |                | 6.206.847,51           | 678.887,02             | 19,62 |   |        |
|         | B120       | 3,0-6,0            |                                  |                                 |                |                |                |                                                   |                | 6.206.852,49           | 678.925,59             | 16,02 |   |        |
|         | B213       | 3,0-5,0            |                                  |                                 |                |                |                |                                                   |                | 6.206.843,55           | 678.919,62             | 16,56 |   |        |
|         | B214       | 2,0-4,0            |                                  |                                 |                |                |                |                                                   |                | 6.206.846,36           | 678.930,27             | 15,27 |   |        |
|         | B215       | 2,0-4,0            |                                  |                                 |                |                |                |                                                   |                | 6.206.852,39           | 678.933,97             | 15,30 |   |        |
|         | B216       | 2,0-5,0            |                                  |                                 |                |                |                |                                                   | Tør            | 6.206.860,11           | 678.930,98             | 16,30 |   |        |
|         | B217       | 7,0-9,0            |                                  |                                 |                |                |                |                                                   |                | 6.206.878,94           | 678.913,57             | 18,09 |   |        |
|         | B222       | 1,5-3,5            |                                  |                                 |                |                |                |                                                   |                | 6.206.836,66           | 678.938,81             | 15,04 |   |        |
|         | B223       | 1,0-5,0            |                                  |                                 |                |                |                |                                                   |                | 6.206.832,41           | 678.930,43             | 15,77 |   |        |
|         | B224       | 2,0-4,0            |                                  |                                 |                |                |                |                                                   |                | 6.206.841,11           | 678.943,49             | 15,07 |   |        |
|         | B401       | 3,0-5,0            |                                  |                                 |                |                |                |                                                   |                | 6.206.850,25           | 678.927,56             | 15,49 |   |        |
|         | B401       | 10,0-12,0          |                                  |                                 |                |                |                |                                                   |                | 6.206.850,17           | 678.927,56             | 15,39 |   |        |
|         | B401       | 16-18              |                                  |                                 | Sløjfet        | Sløjfet        | Sløjfet        | Sløjfet                                           | Sløjfet        | 6.206.850,21           | 678.927,63             | 15,44 |   |        |
|         | B501       | 2,0-4,0            |                                  |                                 |                |                |                |                                                   | Tør            | 678.952,61             | 6.206.833,03           | 15,79 |   |        |
|         | B501       | 5,0-6,0            |                                  |                                 |                |                |                |                                                   |                | 678.952,67             | 6.206.833,08           | 15,75 |   |        |
|         | B502       | 2,0-4,0            |                                  |                                 |                |                |                |                                                   |                | 678.954,51             | 6.206.835,74           | 15,61 |   |        |
|         | B502       | 5,0-6,0            |                                  |                                 |                |                |                |                                                   |                | 678.954,50             | 6.206.835,84           | 15,54 |   |        |
|         | B503       | 2,0-4,0            |                                  |                                 |                |                |                | Tør                                               |                | 678.956,15             | 6.206.838,75           | 15,59 |   |        |
|         | B503       | 5,0-6,0            |                                  |                                 |                |                |                |                                                   |                | 678.956,09             | 6.206.838,80           | 15,62 |   |        |
|         | B503c      | 6,3-8,3            |                                  |                                 |                |                |                |                                                   |                | 678.955,48             | 6.206.838,81           | 15,74 |   |        |
|         | B601a      | 2,5-4,5            |                                  |                                 |                |                |                |                                                   | Tør            | 678.957,71             | 6.206.842,03           | 15,81 |   |        |
|         | B601b      | 5,3-7,3            |                                  |                                 |                |                |                |                                                   |                | 678.957,48             | 6.206.842,10           | 15,86 |   |        |
|         | B602a      | 2,0-4,0            |                                  |                                 |                |                |                |                                                   |                | 678.948,00             | 6.206.843,62           | 14,93 |   |        |
|         | B602b      | 5,0-6,0            |                                  |                                 |                |                |                |                                                   |                | 678.947,78             | 6.206.843,74           | 14,97 |   |        |
|         | B603       | 2,0-4,0            |                                  |                                 |                |                |                | Tør                                               | Tør            | 678.960,58             | 6.206.846,74           | 15,95 |   |        |
|         | B603       | 4,5-5,5            |                                  |                                 |                |                |                |                                                   |                | 678.960,71             | 6.206.846,69           | 15,99 |   |        |
|         | B604       | 8,0-10,0           |                                  |                                 |                |                |                |                                                   |                | 678.895,49             | 6.206.870,70           | 21,22 |   |        |
|         | B605       | 2,5-4,5            |                                  |                                 |                |                |                |                                                   | Tør            | 678.966,01             | 6.206.836,50           | 15,83 |   |        |
|         | B605       | 5,5-7,5            |                                  |                                 |                |                |                |                                                   |                | 678.966,01             | 6.206.836,50           | 15,83 |   |        |
|         | Pumpebrønd | -                  |                                  |                                 |                |                |                |                                                   |                |                        |                        |       |   |        |

: Prøvetaget/indgår i moniteringsrunden

Tør: Ingen vand i filteret ved prøvetagningen

## BILAG 7

### Feltpapirer

## VANDPRØVETAGNING

NIRAS

SIDE 1 AF 2

NIRAS

|                       |                                                |          |                   |
|-----------------------|------------------------------------------------|----------|-------------------|
| Sagsnavn:             | Projekt nr. 10418196                           | Dato:    | Sags nr.:         |
| Sagsleder:            | Projekt: Tankområde Hundested, monitoring 2023 |          | Dato: 17/10-23/10 |
| Rekvirentens navn:    | Punkt: B603                                    |          | Prøvetager: JHF   |
| Rekvirentens adresse: | Dybde: 2-4                                     | Int: JKF |                   |

## UNDERSØGELSESFORMÅL

|                      |             |                |
|----------------------|-------------|----------------|
| Undersøgelsesformål: | 0702 / BTEx | Pumpevalg: 2L  |
| Analyseparametre:    |             | Slangevalg: PE |

## UDSTYR

| Boring                  | Pejl       |            | Pumpe                      |            | Slange                     |           | Bemærkninger               |
|-------------------------|------------|------------|----------------------------|------------|----------------------------|-----------|----------------------------|
| V-boring-filter-a,b,... | Udstyrstyp | Udstyrstid | Sidst anvendt i boring nr. | Udstyrstyp | Sidst anvendt i boring nr. | Materiale | Sidst anvendt i boring nr. |
| B118                    | nr 3       | en         | Duplo                      | ny         | PE                         | fast      | Far ydelse                 |
| B119                    |            | B118       | Duplo                      | ny         | PE                         | fast      | norm ydelse                |
| B120                    |            | B119       | ECO                        | fast       | PE                         | fast      | god ydelse                 |
| B213                    |            | B176       | ECO                        | fast       | PE                         | fast      | ringe ydelse               |
| B214                    |            | B213       | ECO                        | fast       | PE                         | fast      | ringe ydelse               |
| B215                    |            | B212       | ECO                        | fast       | PE                         | fast      | ringe ydelse               |
| B216                    |            | B215       | ECO                        | fast       | PE                         | fast      | ringe ydelse               |
| 217                     |            | B212       | Duplo                      | ny         | PE                         | fast      | Far ydelse                 |
| 222                     |            | B212       | ECO                        | fast       | PE                         | fast      | ringe ydelse               |

## VANDPRØVE

| Boring | Vandprøve               |                |                      | Bemærkninger        |           |                     |                                                           |
|--------|-------------------------|----------------|----------------------|---------------------|-----------|---------------------|-----------------------------------------------------------|
|        | V-boring-filter-a,b,... | Dimension (mm) | Rovandspejl (m u.MP) | Forpumpning (liter) | Tidspunkt | Prøvemængde (liter) | (Klarhed/Udfældning, Farve/Lugt, Filtrering/Konservering) |
| B118   | Ø63                     | 8,31           | 15+12+9              |                     |           | 1+3x40              | gul lig                                                   |
| B119   | Ø63                     | 8,36           | 20+20+20             |                     |           | 10                  | gul lig                                                   |
| B120   | Ø63                     | 3,70           | 20+20+20             |                     |           | do                  | mørk - Benzin lugt                                        |
| B213   | Ø63                     | 4,31           | 1+1+1                |                     |           | 0,5+3x40            | klar                                                      |
| B214   | Ø63                     | 3,01           | 1,5+1,5+1,5          |                     |           | 0,5+3x40            | gul lig                                                   |
| B215   | Ø63                     | 3,07           | 1,5+1,5+1,0          |                     |           | 0,5+3x40            | gul - sandet                                              |
| B216   | Ø63                     | 4,48           | 0,1+0,7+0,1          |                     |           | 0,5+3x40            | farlig mørk                                               |
| B217   | Ø63                     | 7,85           | 3+3+3                |                     |           | 1+3x26              | klar                                                      |
| B222   | Ø63                     | 2,87           | 1+1+1                |                     |           | 1+3x26              | klar                                                      |

## ANALYSE

|                |                                                                                                        |
|----------------|--------------------------------------------------------------------------------------------------------|
| Laboratorium:  | Rekvisition udfyldt: <input type="checkbox"/> ja <input type="checkbox"/> nej <input type="checkbox"/> |
| Kontaktperson: |                                                                                                        |

## Proceduren for vandprøvetagninger overholdt

Metode: NIRAS Tilsynsinstruks. Udtagning af vandprøver (bilag 7)

|      |            |
|------|------------|
| Dato | Prøvetager |
|------|------------|

**VANDPRØVETAGNING**
**NIRAS**
**SIDE 1 AF 2**

Projekt nr.: 10418196

Dato:

Sags nr.:

17/10-23/10

Dato:

Prøvetager:

JKF

Sagsnavn:

Projekt: Tankområde Hundested, monitoring 2023

Sagsleder:

Punkt: B603

Rekvirentens navn:

Dybde: 2-4

Int: JKF

Rekvirentens adresse:

**UNDERSØGELSESFORMÅL**

Undersøgelsesformål:

07ic / BTEx

Pumpevalg: 12v

Analyseparametre:

Slangevalg: DE

**UDSTYR**

| Boring                  | Pejl              | Pumpe                      | Slange            | Bemærkninger               |           |                            |
|-------------------------|-------------------|----------------------------|-------------------|----------------------------|-----------|----------------------------|
| V-boring-filter-a,b,... | Udstyrstypenummer | Sidst anvendt i boring nr. | Udstyrstypenummer | Sidst anvendt i boring nr. | Materiale | Sidst anvendt i boring nr. |
| B223                    | nr3               | B221                       | ECO               | fast                       | PE        | fast                       |
| B224                    |                   | B223                       | ECO               | fast                       | PE        | fast                       |
| B461-2                  |                   | B224                       | ECO               | fast                       | PE        | fast                       |
| B461-1                  |                   | B461-2                     | Duplo             | ny                         | PE        | fast                       |
| B501-2                  |                   | B461-1                     | ECO               | fast                       | PE        | fast                       |
| B501-1                  |                   | B501-2                     | ECO               | fast                       | PE        | fast                       |
| B502-2                  |                   | B501-1                     | ECO               | fast                       | PE        | fast                       |
| B502-1                  |                   | B502-2                     | ECO               | fast                       | PE        | fast                       |
| B503-2                  |                   | B502-1                     | ECO               | fast                       | PE        | fast                       |

**VANDPRØVE**

| Boring | Dimension (mm) | Rovandspejl (m u.MP) | Forpumpning (liter) | Vandprøve Tidspunkt | Prøvemængde (liter) | Bemærkninger<br>(Klarhed/Udfældning, Farve/Lugt, Filtrering/Konservering) |
|--------|----------------|----------------------|---------------------|---------------------|---------------------|---------------------------------------------------------------------------|
| B223   | Ø63            | 4,50                 | 0,20-2-47           |                     | 0,3+3x4             | grønlig - torløb                                                          |
| B224   | Ø63            | 2,93                 | 2+2+2               |                     | 1+3x10              | klar                                                                      |
| B461-2 | Ø63            | 3,14                 | 8+8+7               |                     | 1+3x10              | grønlig - olie lugt                                                       |
| B461-1 | Ø63            | 4,65                 | 20+20+20            |                     | 1+3x10              | klar                                                                      |
| B501-2 | Ø63            | 3,65                 | 0,1+0,1+0,1         |                     | 0,5+5x10            | grønlig                                                                   |
| B501-1 | Ø63            | 3,73                 | 5+5+5               |                     | 1+3x10              | klar                                                                      |
| B502-2 | Ø63            | 3,48                 | 0,5+0,5+0,5         |                     | 0,5+3x10            | grønlig torløb                                                            |
| B502-1 | Ø63            | 3,53                 | 6+6+6               |                     | 1+3x10              | klar                                                                      |
| B503-2 | Ø63            | 3,62                 | 0,5+0,5+0,5         |                     | 0,5+3x10            | grønlig - torløb                                                          |

**ANALYSE**

Laboratorium:

Rekvision udfyldt: ja 

Kontaktperson:

nej 
**Proceduren for vandprøvetagninger overholdt**

Metode: NIRAS Tilsynsinstruks. Udtagning af vandprøver (bilag 7)

Dato

Prøvetager

## VANDPRØVETAGNING

NIRAS

SIDE 1 AF 2

Projekt nr. 10418196

Dato:

Sagsnavn:

Projekt: Tankområde Hundested, monitoring 2023

Sags nr.:

Sagsleder:

Punkt: B603

Dato: 12/10-23/10

Rekvirentens navn:

Dybde: 2-4'

Int. JKF

Prøvetager: JK

Rekvirentens adresse:

## UNDERSØGELSESFÖRMÅL

Undersøgelsesförmål:

OZK / BTEX

Pumpevalg: 12v

Analyseparametre:

Slangevalg: PE

## UDSTYR

| Boring<br>V-boring-filter-a,b,... | Pejl          |                               | Pumpe         |                               | Slange    |                               | Bemærkninger  |
|-----------------------------------|---------------|-------------------------------|---------------|-------------------------------|-----------|-------------------------------|---------------|
|                                   | Udstyrsnummer | Sidst anvendt i<br>boring nr. | Udstyrsnummer | Sidst anvendt i<br>boring nr. | Materiale | Sidst anvendt i<br>boring nr. |               |
| B503-1                            | nr3           | B503-2                        | ECO           | fast                          | PE        | fast                          | norm ydelse   |
| B503 c                            |               | B503-1                        | ECO           | fast                          | PE        | fast                          | god ydelse    |
| B601 a                            |               | B603c                         | ECO           | fast                          | PE        | fast                          | rigtig ydelse |
| B601 b                            |               | B601a                         | ECO           | fast                          | PE        | fast                          | norm ydelse   |
| B602 a                            |               | B601b                         | ECO           | fast                          | PE        | fast                          | rigtig ydelse |
| B602 b                            |               | B602a                         | ECO           | fast                          | PE        | fast                          | norm ydelse   |
| B603 2                            |               | ter                           | ECO           | fast                          | PE        | fast                          | ter           |
| B603-1                            |               | B602-2                        | ECO           | fast                          | PE        | fast                          | ter ydelse    |
| B604                              |               | B603-1                        | ECO           | ny                            | PE        | fast                          | ter ydelse    |

## VANDPRØVE

| Boring<br>V-boring-filter-a,b,... | Boring            |                         | Vandprøve              |           |                        | Bemærkninger                                              |  |
|-----------------------------------|-------------------|-------------------------|------------------------|-----------|------------------------|-----------------------------------------------------------|--|
|                                   | Dimension<br>(mm) | Rovandspejl<br>(m u.MP) | Forpumpning<br>(liter) | Tidspunkt | Prøvemængde<br>(liter) | (Klarhed/Udfældning, Farve/Lugt, Filtrering/Konservering) |  |
| B503-1                            | ø63               | 3,62                    | 10+10+10               |           | 1+3+40                 | klar                                                      |  |
| B503 c                            | ø63               | 3,171                   | 20+20+20               |           | 1+3+40                 | klar                                                      |  |
| B601 a                            | ø63               | 3,78                    | 0,5+0,5+0,5            |           | 0,5+3+40               | gullig - terlab                                           |  |
| B601 b                            | ø63               | 3,86                    | 20+20+20               |           | 1+3+40                 | klar                                                      |  |
| B602 a                            | ø63               | 2,83                    | 2+2+2                  |           | 1+3+40                 | gullig                                                    |  |
| B602 b                            | ø63               | 2,93                    | 8+8+8                  |           | 1+3+40                 | klar                                                      |  |
| B603-2                            | ø63               | ter                     | -                      |           | 1-P.                   | ter                                                       |  |
| B603-1                            | ø63               | 4,01                    | 5+5+5                  |           | 1+3+40                 | gullig                                                    |  |
| B604                              | ø63               | 8,15                    | 12+10+8                |           | 1+3+40                 | gullig                                                    |  |

## ANALYSE

|                |                                                                                          |
|----------------|------------------------------------------------------------------------------------------|
| Laboratorium:  | Rekvisition udfyldt: <input checked="" type="checkbox"/> ja <input type="checkbox"/> nej |
| Kontaktperson: |                                                                                          |

## Proceduren for vandprøvetagninger overholdt

Metode: NIRAS Tilsynsinstruks. Udtagning af vandprøver (bilag 7)

|      |            |
|------|------------|
| Dato | Prøvetager |
|------|------------|

(4)

NIRAS

VANDPRØVETAGNING  
**NIRAS**

SIDE 1 AF 2

Projekt nr.: 10418196

Dato:

Sags nr.:

Date:

Date: 1-12-37/10

Prøvetager: ThF

## **UNDERSØGELSESFÖRMÅL**

#### **Undersøgelsesformål:**

Pumpevalg: 12v  
Slangevalg: PC

JUDSTYR

## VANDPRØVE

## **ANALYSE**

## Laboratorium:

Rekvition udfyldt: ja

Kontaktperson:

nei

#### **Proceduren for vandprøvetagninger overholdt**

Metode: NIRAS Tilsynsinstruks Uldtagning af vandprøver (bilag 7)

Date

## Prøvetager

## VANDPRØVETAGNING

SIDE 2 AF 2

Sagsnavn:

Sagsleder:

Rekvirentens navn:

Rekvirentens adresse:

Sags nr.:

Dato: 20/10-23

Prøvetager: JNF

## FELTMÅLING

Troll Flomco Nc kalibrert før slørh

| Boring<br>V-boring-filter-a,b...<br>m u.MP) | Vand-<br>spejl<br>(m u.MP) | Tid<br>(Start/min) | Flow<br>(l/min.) | Lednings-<br>evne<br>(μS/cm) | Tempe-<br>ratur<br>(°C) | Feltmåling    |      |               | Bemærkninger    |
|---------------------------------------------|----------------------------|--------------------|------------------|------------------------------|-------------------------|---------------|------|---------------|-----------------|
|                                             |                            |                    |                  |                              |                         | Redox<br>(mV) | pH   | ilt<br>(mg/l) |                 |
| B118                                        |                            |                    |                  | 453                          | 9,46                    | +105,3        | 7,01 | 9,27          | → torlab        |
| B119                                        |                            |                    |                  | 693                          | 9,55                    | +1628         | 7,23 | 5,01          |                 |
| B120                                        |                            |                    |                  | 562                          | 10,32                   | +1734         | 6,66 | 1,64          |                 |
| B213                                        |                            |                    |                  | 619                          | 10,21                   | +1844         | 6,98 | 1,55          | → torlab        |
| B214                                        |                            |                    |                  | 871                          | 10,82                   | +1884         | 6,76 | 0,14          | → torlab        |
| B215                                        |                            |                    |                  | 761                          | 11,37                   | +190,8        | 6,74 | 1,15          | → torlab samlet |
| B216                                        |                            |                    |                  | 1079                         | 9,86                    | +189,9        | 6,81 | 3,39          | torlab          |
| B217                                        |                            |                    |                  | 627                          | 9,54                    | +91,3         | 7,05 | 9,22          | → torlab        |
| B222                                        |                            |                    |                  | 177                          | 11,28                   | +1724         | 6,97 | 7,16          | → torlab        |
| B223                                        |                            |                    |                  | 978                          | 10,58                   | +130,4        | 6,68 | 4,65          | → torlab        |
| B224                                        |                            |                    |                  | 660                          | 10,95                   | +172,8        | 6,66 | 0,05          | → torlab        |
| B401-1 dyb                                  |                            |                    |                  | 581                          | 9,41                    | +211          | 7,29 | 0,31          | → torlab        |
| B401-2 kort                                 |                            |                    |                  | 739                          | 10,78                   | +194,3        | 6,91 | 0,12          | → torlab        |
| B501-1 dyb                                  |                            |                    |                  | 436                          | 10,57                   | +67,4         | 6,53 | 0,18          | → torlab        |
| B501-2 kort                                 |                            |                    |                  | 385                          | 11,03                   | +64,2         | 6,52 | 1,11          | → torlab        |
| B502-1 dyb                                  |                            |                    |                  | 508                          | 10,50                   | +115,9        | 6,47 | 0,10          | → torlab        |
| B502-2 kort                                 |                            |                    |                  | 176                          | 11,15                   | +100,3        | 6,65 | 9,43          | → torlab        |
| B503a kort                                  |                            |                    |                  | 314                          | 10,91                   | +153,4        | 6,78 | 7,12          | → torlab        |
| B503b mellem                                |                            |                    |                  | 278                          | 10,86                   | +136,6        | 6,94 | 5,56          | → torlab        |
| B503c dyb                                   |                            |                    |                  | 535                          | 9,92                    | +131,2        | 6,55 | 1,11          |                 |
| B601a kort                                  |                            |                    |                  | 337                          | 11,07                   | +204,1        | 7,01 | 1,84          | → torlab        |
| B601b dyb                                   |                            |                    |                  | 780                          | 10,25                   | +185,7        | 6,88 | 0,00          |                 |
| B602a kort                                  |                            |                    |                  | 234                          | 10,83                   | +201,4        | 6,91 | 4,61          | → torlab        |
| B602b dyb                                   |                            |                    |                  | 885                          | 10,22                   | +167,8        | 6,61 | 0,00          | → torlab        |
| B603-1                                      |                            |                    |                  | 353                          | 11,08                   | +179,5        | 7,25 | 3,77          | → torlab        |
| B603-2 tor                                  |                            |                    |                  | -                            | -                       | -             | -    | -             | tor             |
| B604                                        |                            |                    |                  | 408                          | 9,51                    | +130,8        | 7,22 | 7,99          | → torlab        |
| B605-1                                      |                            |                    |                  | 530                          | 10,45                   | +200,6        | 6,86 | 0,15          | → torlab        |

## VANDPRØVETAGNING

**NIRAS**

SIDE 2 AF 2

Sagsnavn: T.O. Havnsted Sags nr.:  
Sagsleder: Dato: 20/10-23  
Rekvirentens navn: Prøvetager: JKF  
Rekvirenten's adresse:

**FELTMÅLING** T1011 Flawcollte kalibreret for stål.

## PEJLESKEMA

(1)

NIRAS

| SAG :      |                          | T.O. Hvidtsted      |                      |                     |                        |                                 |                               |                                  | Dato : 17/10-23 |
|------------|--------------------------|---------------------|----------------------|---------------------|------------------------|---------------------------------|-------------------------------|----------------------------------|-----------------|
| LOKALIT    |                          |                     |                      |                     |                        |                                 |                               |                                  | Sag nr. : T.O.  |
| Boring nr. | Pejlepkt.<br>(kote)<br>m | Terræn<br>kote<br>m | V.S.<br>(u.pp.)<br>m | V.S.<br>(kote)<br>m | Olie-<br>tykkelse<br>m | Korrigeret<br>olietykkelse<br>m | Korrigeret<br>trykniveau<br>m | Korrigeret<br>vandspejl<br>m.u.t | Bemærkninger    |
| B118       |                          |                     | 8,31                 |                     |                        |                                 |                               |                                  |                 |
| B119       |                          |                     | 8,36                 |                     |                        |                                 |                               |                                  |                 |
| B120       |                          |                     | 3,70                 |                     |                        |                                 |                               |                                  |                 |
| B213       |                          |                     | 4,31                 |                     |                        |                                 |                               |                                  |                 |
| B214       |                          |                     | 3,01                 |                     |                        |                                 |                               |                                  |                 |
| B215       |                          |                     | 3,07                 |                     |                        |                                 |                               |                                  |                 |
| B216       |                          |                     | 4,48                 |                     |                        |                                 |                               |                                  |                 |
| B217       |                          |                     | 7,85                 |                     |                        |                                 |                               |                                  |                 |
| B222       |                          |                     | 2,87                 |                     |                        |                                 |                               |                                  |                 |
| B223       |                          |                     | 4,50                 |                     |                        |                                 |                               |                                  |                 |
| B224       |                          |                     | 2,93                 |                     |                        |                                 |                               |                                  |                 |
| B401-1     |                          |                     | 3,14                 |                     |                        |                                 |                               |                                  | 3,0-5,0 mnt     |
| B401-1     |                          |                     | 4,05                 |                     |                        |                                 |                               |                                  | 10,0 - 12,0 mnt |
| B501-2     |                          |                     | 3,65                 |                     |                        |                                 |                               |                                  | 2,0 - 4,0 mnt   |
| B501-1     |                          |                     | 3,73                 |                     |                        |                                 |                               |                                  | 5,0 - 6,0 mnt   |
| B502-2     |                          |                     | 3,48                 |                     |                        |                                 |                               |                                  | 2,0 - 4,0 mnt   |
| B502-1     |                          |                     | 3,53                 |                     |                        |                                 |                               |                                  | 5,0 - 6,0 mnt   |
| B503-2     |                          |                     | 3,57                 |                     |                        |                                 |                               |                                  | 2,0 - 4,0 mnt   |
| B503-1     |                          |                     | 3,62                 |                     |                        |                                 |                               |                                  | 5,0 - 6,0 mnt   |
| B503-5     |                          |                     | 3,71                 |                     |                        |                                 |                               |                                  | 6,3 - 8,3 mnt   |
| B601-a     |                          |                     | 3,78                 |                     |                        |                                 |                               |                                  | 2,0 - 4,5 mnt   |
| B601-b     |                          |                     | 3,86                 |                     |                        |                                 |                               |                                  | 5,3 - 7,3 mnt   |
| B602-a     |                          |                     | 2,82                 |                     |                        |                                 |                               |                                  | 2,0 - 4,0 mnt   |
| B602-b     |                          |                     | 2,93                 |                     |                        |                                 |                               |                                  | 5,0 - 6,0 mnt   |

NIRAS - KOMMENTARER/VURDERINGER/ANBEFALINGER

Udført af:

Dato:

Pejlepunkt = top af rør

Olietykkelse korrigert med (massefyld):

0,85

PEJLESKEMA

62

NIRAS

Dato : 17/10-23

Sag nr. :

Init./Tilsyn : JKE

NIRAS - KOMMENTARER/VURDERINGER/ANBEFALINGER

Udført af:

Dato:

Pejlepunkt = top af rør

Olietykkelse korrigert med (massefylde):

0,85

## BILAG 8

Analysedata samlet, 2010-2023

## Analyseresultater tank 27

| Prøveoplysninger |                 |                          | Kulbrinter             | BTEX'er        |                |                     |               |                   |
|------------------|-----------------|--------------------------|------------------------|----------------|----------------|---------------------|---------------|-------------------|
| ID               | Dybde<br>m u.t. | Udtagnings-<br>tidspunkt | Sum kulbrinter<br>µg/l | Benzin<br>µg/l | Toluen<br>µg/l | Ethylbenzen<br>µg/l | Xylen<br>µg/l | Naphtalen<br>µg/l |
| B118             | 8,0-10,0        | 2010                     | <5,0                   | <0,020         | 0,032          | <0,040              | <0,040        | <0,080            |
|                  |                 | 2014                     | <5,0                   | <0,10          | <0,10          | <0,10               | <0,10         | <0,10             |
|                  |                 | 2017                     | <5,0                   | <0,020         | <0,020         | <0,020              | <0,020        | <0,020            |
|                  |                 | 2018                     | <5,0                   | 0,036          | 0,16           | <0,020              | 1,2           | <0,020            |
|                  |                 | 2019                     | <5,0                   | 0,052          | 0,048          | <0,020              | <0,020        | <0,020            |
|                  |                 | 2021                     | <5,0                   | <0,020         | <0,020         | <0,020              | <0,040        | <0,020            |
|                  |                 | 2022                     | <5,0                   | <0,020         | <0,020         | <0,020              | <0,040        | <0,020            |
|                  |                 | 2023                     | <b>17</b>              | <b>3,4</b>     | <b>9,5</b>     | 0,57                | 3,2           | <0,020            |
| B119             | 8,5-10,5        | 2010                     | <5,0                   | 0,27           | <0,48          | <0,040              | 0,14          | <0,080            |
|                  |                 | 2014                     | <5,0                   | <0,10          | <0,10          | <0,10               | <0,10         | <0,10             |
|                  |                 | 2017                     | <5,0                   | <0,020         | <0,020         | <0,020              | <0,020        | <0,020            |
|                  |                 | 2018                     | <5,0                   | 0,029          | 0,10           | <0,020              | 1,1           | <0,020            |
|                  |                 | 2019                     | <5,0                   | <0,020         | <0,020         | <0,020              | <0,020        | <0,020            |
|                  |                 | 2021                     | <5,0                   | <0,020         | <0,020         | <0,020              | <0,040        | <0,020            |
|                  |                 | 2022                     | <5,0                   | <0,020         | <0,020         | <0,020              | <0,040        | <0,020            |
|                  |                 | 2023                     | <b>29</b>              | <b>4,8</b>     | <b>17</b>      | 1,0                 | <b>5,9</b>    | <0,020            |
| B120             | 3,0-6,0         | 2010                     | <b>120.000</b>         | <b>33.000</b>  | <b>57.000</b>  | 3.700               | <b>18.000</b> | <b>170</b>        |
|                  |                 | 2011                     | <b>52.000</b>          | <b>16.000</b>  | <b>26.000</b>  | 4.700               | <b>4.700</b>  | <b>320</b>        |
|                  |                 | 2019                     | <b>110.000</b>         | <b>20.000</b>  | <b>55.000</b>  | 3.400               | <b>16.000</b> | <b>190</b>        |
|                  |                 | 2021                     | <b>120.000</b>         | <b>30.000</b>  | <b>51.000</b>  | 4.300               | <b>24.000</b> | <b>250</b>        |
|                  |                 | 2022                     | <b>170.000</b>         | <b>26.000</b>  | <b>73.000</b>  | 5.200               | <b>25.000</b> | <b>450</b>        |
|                  |                 | 2023                     | <b>130.000</b>         | <b>21.000</b>  | <b>60.000</b>  | 3.200               | <b>27.000</b> | <b>310</b>        |
| B213             | 3,0-5,0         | 2011                     | <5,0                   | <0,10          | <0,10          | <0,10               | <0,10         | <0,10             |
|                  |                 | 2014                     | <5,0                   | <0,10          | <0,10          | <0,10               | <0,10         | <0,10             |
|                  |                 | 2017                     | <5,0                   | <0,020         | <0,020         | <0,020              | <0,020        | <0,020            |
|                  |                 | 2018                     | <5,0                   | 0,22           | 0,95           | 0,15                | 2,8           | 0,41              |
|                  |                 | 2019                     | <5,0                   | <0,020         | 0,12           | <0,020              | <0,020        | <0,020            |
|                  |                 | 2019                     | <5,0                   | <0,020         | 0,12           | <0,020              | <0,020        | <0,020            |
|                  |                 | 2021                     | <5,0                   | <0,020         | 0,064          | <0,020              | 0,067         | <0,020            |
|                  |                 | 2022                     | <5,0                   | <0,020         | 0,021          | 0,051               | 0,39          | <0,020            |
|                  |                 | 2023                     | <5,0                   | 0,22           | 0,11           | <0,020              | 0,050         | <0,020            |
| B214             | 2,0-4,0         | 2011                     | <b>17.000</b>          | <b>8.600</b>   | <b>5.700</b>   | 890                 | <b>1.200</b>  | <b>49</b>         |
|                  |                 | 2019                     | <b>28.000</b>          | <b>4.800</b>   | <b>8.000</b>   | 450                 | <b>1.500</b>  | <b>64</b>         |
|                  |                 | 2021                     | <b>12.000</b>          | <b>3.700</b>   | <b>3.300</b>   | 370                 | <b>2.000</b>  | <b>28</b>         |
|                  |                 | 2022                     | <b>69.000</b>          | <b>15.000</b>  | <b>26.000</b>  | 2.000               | <b>7.900</b>  | <b>100</b>        |
|                  |                 | 2023                     | <b>61.000</b>          | <b>16.000</b>  | <b>23.000</b>  | 1.900               | <b>7.600</b>  | <b>84</b>         |
| B215             | 2,0-4,0         | 2011                     | <5,0                   | <0,10          | 0,16           | <0,10               | <0,10         | <0,10             |
|                  |                 | 2014                     | <5,0                   | <0,10          | <0,10          | <0,10               | <0,10         | <0,10             |
|                  |                 | 2017                     | <5,0                   | <0,020         | <0,020         | <0,020              | <0,020        | <0,020            |
|                  |                 | 2018                     | <5,0                   | 0,052          | <0,020         | <0,020              | 1,0           | <0,020            |
|                  |                 | 2019                     | <5,0                   | 0,13           | 0,19           | <0,020              | 0,073         | <0,020            |
|                  |                 | 2021                     | <5,0                   | 0,030          | 0,058          | <0,020              | 0,082         | <0,020            |
|                  |                 | 2022                     | <5,0                   | <b>3,7</b>     | 4,9            | 0,41                | 2,2           | <0,020            |
|                  |                 | 2023                     | <5,0                   | <b>1,2</b>     | 2,3            | 0,17                | 0,96          | <0,020            |

| Prøveoplysninger |              |                      | Kulbrinter             | BTEX'er        |                |                     |                 |                   |
|------------------|--------------|----------------------|------------------------|----------------|----------------|---------------------|-----------------|-------------------|
| ID               | Dybde m.u.t. | Udtagnings-tidspunkt | Sum kulbrinter<br>µg/l | Benzen<br>µg/l | Toluen<br>µg/l | Ethylbenzen<br>µg/l | Xylener<br>µg/l | Naphtalen<br>µg/l |
| B216             | 2,0-5,0      | 2011                 | <5,0                   | <0,10          | 0,38           | <0,10               | 0,12            | <0,10             |
|                  |              | 2014                 | <5,0                   | <0,10          | <0,10          | <0,10               | <0,10           | <0,10             |
|                  |              | 2017                 | <5,0                   | <0,020         | <0,020         | <0,020              | <0,020          | <0,020            |
|                  |              | 2018                 | <5,0                   | 0,063          | 0,27           | 0,045               | 1,8             | <0,020            |
|                  |              | 2019                 | <5,0                   | 0,029          | 0,075          | <0,020              | <0,020          | <0,020            |
|                  |              | 2021                 | <5,0                   | 0,021          | 0,082          | 0,023               | 0,14            | <0,020            |
|                  |              | 2022                 | Tør                    |                |                |                     |                 |                   |
|                  |              | 2023                 | <5,0                   | <0,020         | <0,020         | <0,020              | <0,040          | <0,020            |
|                  |              | 2011                 | <5,0                   | <0,10          | <0,10          | <0,10               | <0,10           | <0,10             |
|                  |              | 2014                 | <5,0                   | <0,10          | <0,10          | <0,10               | <0,10           | <0,10             |
| B217             | 7,0-9,0      | 2017                 | <5,0                   | <0,020         | <0,020         | <0,020              | <0,020          | <0,020            |
|                  |              | 2018                 | <5,0                   | 0,068          | 0,29           | 0,044               | 1,5             | <0,020            |
|                  |              | 2019                 | <5,0                   | <0,020         | <0,020         | <0,020              | <0,020          | <0,020            |
|                  |              | 2021                 | <5,0                   | <0,020         | <0,020         | <0,020              | <0,040          | <0,020            |
|                  |              | 2022                 | <5,0                   | <b>3,1</b>     | 4,9            | 0,35                | 2,0             | <0,020            |
|                  |              | 2023                 | 8,2                    | <b>1,8</b>     | 4,3            | 0,31                | 1,8             | <0,020            |
|                  |              | 2011                 | <5,0                   | <0,10          | 0,15           | <0,10               | <0,10           | <0,10             |
|                  |              | 2014                 | <5,0                   | <0,10          | <0,10          | <0,10               | <0,10           | <0,10             |
|                  |              | 2017                 | <5,0                   | <0,020         | <0,020         | <0,020              | <0,020          | <0,020            |
|                  |              | 2018                 | <5,0                   | <0,020         | <0,020         | <0,020              | 1,1             | <0,020            |
| B222             | 1,5-3,5      | 2019                 | <5,0                   | <0,020         | <0,020         | <0,020              | <0,020          | <0,020            |
|                  |              | 2021                 | <5,0                   | <0,020         | <0,020         | <0,020              | <0,040          | <0,020            |
|                  |              | 2022                 | <5,0                   | 0,029          | 0,052          | <0,020              | <0,040          | <0,020            |
|                  |              | 2023                 | <5,0                   | 0,029          | 0,092          | <0,020              | 0,074           | 0,051             |
|                  |              | 2011                 | <5,0                   | <0,10          | 0,15           | <0,10               | <0,10           | <0,10             |
|                  |              | 2014                 | <5,0                   | <0,10          | <0,10          | <0,10               | <0,10           | <0,10             |
|                  |              | 2017                 | <5,0                   | <0,020         | <0,020         | <0,020              | <0,020          | <0,020            |
|                  |              | 2018                 | <5,0                   | <0,020         | <0,020         | <0,020              | <0,020          | <0,020            |
|                  |              | 2019                 | <5,0                   | <0,020         | 0,027          | <0,020              | <0,020          | <0,020            |
|                  |              | 2021                 | <5,0                   | <0,020         | 0,088          | <0,020              | 0,11            | <0,020            |
| B223             | 1,0-5,0      | 2022                 | Tør                    |                |                |                     |                 |                   |
|                  |              | 2023                 | <5,0                   | <b>1,4</b>     | 1,4            | <0,020              | 1,0             | <0,020            |
|                  |              | 2011                 | <5,0                   | <0,10          | 0,15           | <0,10               | <0,10           | <0,10             |
|                  |              | 2014                 | <5,0                   | <0,10          | <0,10          | <0,10               | <0,10           | <0,10             |
|                  |              | 2017                 | <5,0                   | <0,020         | <0,020         | <0,020              | <0,020          | <0,020            |
|                  |              | 2018                 | <5,0                   | <0,020         | <0,020         | <0,020              | <0,020          | <0,020            |
|                  |              | 2019                 | <5,0                   | <0,020         | 0,027          | <0,020              | <0,020          | <0,020            |
|                  |              | 2021                 | <5,0                   | <0,020         | 0,088          | <0,020              | 0,11            | <0,020            |
|                  |              | 2022                 | Tør                    |                |                |                     |                 |                   |
|                  |              | 2023                 | <5,0                   | <b>1,4</b>     | 1,4            | <0,020              | 1,0             | <0,020            |
| B224             | 2,0-4,0      | 2011                 | <b>40</b>              | <b>27</b>      | <0,10          | 1,1                 | <b>5,1</b>      | 0,59              |
|                  |              | 2014                 | <5,0                   | <b>1,4</b>     | <0,10          | <0,10               | <0,10           | <0,10             |
|                  |              | 2017                 | <b>1.800</b>           | <b>350</b>     | <b>30</b>      | 0,056               | <b>120</b>      | <b>1,6</b>        |
|                  |              | 2018                 | <b>1.000</b>           | <b>460</b>     | <b>26</b>      | 0,13                | <b>520</b>      | <b>12</b>         |
|                  |              | 2019                 | <b>10.500</b>          | <b>4.500</b>   | <b>4.400</b>   | 130                 | <b>1.200</b>    | <b>53</b>         |
|                  |              | 2021                 | <b>2.000</b>           | <b>1.100</b>   | <b>240</b>     | <0,020              | <b>630</b>      | <b>19</b>         |
|                  |              | 2022                 | <b>17.000</b>          | <b>3.700</b>   | <b>5.200</b>   | 450                 | <b>2.500</b>    | <b>33</b>         |
|                  |              | 2023                 | <b>15.000</b>          | <b>1.700</b>   | <b>19</b>      | 38                  | <b>2.200</b>    | <b>33</b>         |
|                  |              | 2013                 | <b>16.000</b>          | <b>4.400</b>   | <b>7.900</b>   | 970                 | <b>2.000</b>    | <b>31</b>         |
|                  |              | 2014                 | <5,0                   | <0,10          | <0,10          | <0,10               | <0,10           | 0,52              |
| B401-1           | 16,0-18,0    | 2013                 | <b>12.000</b>          | <b>1.500</b>   | <b>850</b>     | 180                 | <b>520</b>      | <b>12</b>         |
|                  |              | 2014                 | <b>7.900</b>           | <b>5.600</b>   | <b>1.900</b>   | 74                  | <b>320</b>      | <b>1,4</b>        |

| Prøveoplysninger |                 |                          | Kulbrinter             | BTEX'er        |                |                     |                 |                   |
|------------------|-----------------|--------------------------|------------------------|----------------|----------------|---------------------|-----------------|-------------------|
| ID               | Dybde<br>m.u.t. | Udtagnings-<br>tidspunkt | Sum kulbrinter<br>µg/l | Benzen<br>µg/l | Toluen<br>µg/l | Ethylbenzen<br>µg/l | Xylener<br>µg/l | Naphtalen<br>µg/l |
| B401-2           | 10,0-12,0       | 2013                     |                        |                |                | Tør                 |                 |                   |
|                  |                 | 2014                     | <5,0                   | <b>4,1</b>     | 0,43           | <0,10               | 0,33            | <0,10             |
|                  |                 | 2017                     | <5,0                   | 0,055          | <0,020         | <0,020              | 0,067           | <0,020            |
|                  |                 | 2018                     | <5,0                   | 0,24           | <0,020         | 0,12                | 2,0             | <0,020            |
|                  |                 | 2019                     | 8,5                    | <b>6,9</b>     | 1,2            | 0,073               | 0,33            | 0,041             |
|                  |                 | 2021                     | <b>49</b>              | 0,98           | 0,054          | 0,56                | 3,5             | <0,020            |
|                  |                 | 2022                     | <b>11</b>              | <0,020         | 0,047          | <0,020              | 0,29            | 0,035             |
|                  |                 | 2023                     | <5,0                   | <0,020         | <0,020         | <0,020              | <0,040          | <0,020            |
| B401-3           | 3,0-5,0         | 2013                     | <b>76.000</b>          | <b>16.000</b>  | <b>37.000</b>  | 3.800               | <b>18.000</b>   | <b>230</b>        |
|                  |                 | 2014                     | <b>66.000</b>          | <b>1.800</b>   | <b>1.800</b>   | 440                 | <b>1.300</b>    | <b>120</b>        |
|                  |                 | 2017                     | <b>90.000</b>          | <b>22.000</b>  | <b>36.000</b>  | 1.900               | <b>11.000</b>   | <b>120</b>        |
|                  |                 | 2018                     | <b>153.000</b>         | <b>34.000</b>  | <b>83.000</b>  | 6.200               | <b>28.000</b>   | <b>1.500</b>      |
|                  |                 | 2019                     | <b>60.000</b>          | <b>16.000</b>  | <b>34.000</b>  | 2.100               | <b>7.700</b>    | <b>86</b>         |
|                  |                 | 2021                     | <b>91.000</b>          | <b>19.000</b>  | <b>34.000</b>  | 3.000               | <b>16.000</b>   | <b>120</b>        |
|                  |                 | 2022                     | <b>130.000</b>         | <b>21.000</b>  | <b>65.000</b>  | 4.700               | <b>23.000</b>   | <b>350</b>        |
|                  |                 | 2023                     | <b>84.000</b>          | <b>15.000</b>  | <b>40.000</b>  | 2.400               | <b>17.000</b>   | <b>190</b>        |
| B501-1           | 5,0-6,0         | 2018                     | <5,0                   | <0,020         | <0,020         | 0,060               | 2,0             | 0,51              |
|                  |                 | 2019                     | <5,0                   | <0,020         | <0,020         | <0,020              | <0,020          | <0,020            |
|                  |                 | 2021                     | <5,0                   | <0,020         | <0,020         | <0,020              | <0,040          | <0,020            |
|                  |                 | 2022                     | <5,0                   | <0,020         | <0,020         | <0,020              | <0,040          | <0,020            |
|                  |                 | 2023                     | <5,0                   | <0,020         | 0,037          | <0,020              | <0,040          | <0,020            |
| B501-2           | 2,0-4,0         | 2018                     | <5,0                   | <0,020         | 0,048          | 0,058               | 1,6             | 0,31              |
|                  |                 | 2019                     | <5,0                   | <0,020         | <0,020         | <0,020              | <0,020          | <0,020            |
|                  |                 | 2021                     | <5,0                   | <0,020         | <0,020         | <0,020              | <0,040          | <0,020            |
|                  |                 | 2022                     |                        |                |                | Tør                 |                 |                   |
|                  |                 | 2023                     | <5,0                   | 0,025          | 0,057          | <0,020              | <0,040          | <0,020            |
| B502-1           | 5,0-6,0         | 2018                     | <5,0                   | 0,040          | <0,020         | 0,051               | 2,3             | 0,69              |
|                  |                 | 2019                     | <b>23</b>              | <0,020         | <0,020         | <0,020              | <0,020          | <0,020            |
|                  |                 | 2021                     | <b>34</b>              | 0,48           | <0,020         | <0,020              | <0,040          | 0,12              |
|                  |                 | 2022                     | <5,0                   | <b>1,5</b>     | 0,073          | <0,020              | 0,50            | <b>2,3</b>        |
|                  |                 | 2023                     | <5,0                   | 0,11           | 0,071          | <0,020              | <0,040          | <0,020            |
| B502-2           | 2,0-4,0         | 2018                     | <5,0                   | <0,020         | <0,020         | <0,020              | 1,4             | 0,18              |
|                  |                 | 2019                     | <5,0                   | 0,094          | 0,028          | <0,020              | 0,089           | -                 |
|                  |                 | 2021                     | <5,0                   | <0,020         | <0,020         | <0,020              | <0,040          | <0,020            |
|                  |                 | 2022                     | <5,0                   | 0,040          | 0,028          | <0,020              | <0,040          | <0,020            |
|                  |                 | 2023                     | <5,0                   | 0,13           | 0,29           | 0,023               | 0,13            | <b>&lt;0,020</b>  |
| B503-1           | 5,0-6,0         | 2018                     | <b>2.000</b>           | <b>1.400</b>   | <b>7,3</b>     | 33                  | <b>640</b>      | <b>12</b>         |
|                  |                 | 2019                     | <b>4.500</b>           | <b>3.500</b>   | <b>88</b>      | 180                 | <b>650</b>      | <b>51</b>         |
|                  |                 | 2021                     | <5,0                   | <0,020         | <0,020         | <0,020              | <0,040          | <0,020            |
|                  |                 | 2022                     | <5,0                   | <0,020         | <0,020         | <0,020              | <0,040          | <0,020            |
|                  |                 | 2023                     | <5,0                   | 0,33           | 0,72           | 0,051               | 0,3             | <0,020            |
| B503-2           | 2,0-4,0         | 2018                     | <5,0                   | 0,052          | <0,020         | <0,020              | 1,0             | 0,17              |
|                  |                 | 2019                     | <b>17</b>              | <b>7,0</b>     | 4,1            | 1,1                 | 4,7             | 0,043             |
|                  |                 | 2021                     | <5,0                   | <0,020         | <0,020         | <0,020              | <0,040          | <0,020            |
|                  |                 | 2022                     |                        |                |                | Tør                 |                 |                   |
|                  |                 | 2023                     | <5,0                   | 0,24           | 0,58           | 0,041               | 0,27            | <0,020            |

| Prøveoplysninger |                 |                          | Kulbrinter             | BTEX'er        |                |                     |                 |                   |
|------------------|-----------------|--------------------------|------------------------|----------------|----------------|---------------------|-----------------|-------------------|
| ID               | Dybde<br>m.u.t. | Udtagnings-<br>tidspunkt | Sum kulbrinter<br>µg/l | Benzin<br>µg/l | Toluen<br>µg/l | Ethylbenzen<br>µg/l | Xylenes<br>µg/l | Naphtalen<br>µg/l |
| B503c            | 6,3-8,3         | 2019                     | <b>8.300</b>           | <b>5.100</b>   | <b>900</b>     | 310                 | <b>1.900</b>    | <b>75</b>         |
|                  |                 | 2021                     | <b>16.000</b>          | <b>6.900</b>   | <b>3.400</b>   | 790                 | <b>4.200</b>    | <b>83</b>         |
|                  |                 | 2022                     | <b>17.000</b>          | <b>6.800</b>   | <b>3.700</b>   | 560                 | <b>2.500</b>    | <b>54</b>         |
|                  |                 | 2023                     | <b>2.500</b>           | 0,048          | <0,020         | <0,020              | 0,12            | <0,020            |
| B601a            | 2,5-4,5         | 2019                     | <5,0                   | <0,020         | <0,020         | 0,31                | 3,1             | <0,020            |
|                  |                 | 2021                     | <5,0                   | 0,023          | 0,034          | <0,020              | <0,040          | <0,020            |
|                  |                 | 2022                     | Tør                    |                |                |                     |                 |                   |
|                  |                 | 2023                     | <5,0                   | <0,020         | <0,020         | <0,020              | 0               | <0,020            |
| B601b            | 5,3-7,3         | 2019                     | <b>25.000</b>          | <b>12.000</b>  | <b>6.100</b>   | 1.000               | <b>4.500</b>    | <20               |
|                  |                 | 2021                     | <b>450</b>             | <b>310</b>     | <b>13</b>      | 2,0                 | <b>36</b>       | <b>4,8</b>        |
|                  |                 | 2022                     | <b>6.400</b>           | <b>2.200</b>   | <b>1.200</b>   | 340                 | <b>1.000</b>    | <b>17</b>         |
|                  |                 | 2023                     | <b>25.000</b>          | <b>44</b>      | <b>27</b>      | 4,6                 | <b>23</b>       | <b>20</b>         |
| B602a            | 2,0-4,0         | 2019                     | <5,0                   | <0,020         | <0,020         | <0,020              | <0,020          | <0,020            |
|                  |                 | 2021                     | <5,0                   | <0,020         | <0,020         | <0,020              | <0,040          | <0,020            |
|                  |                 | 2022                     | <5,0                   | <0,020         | <0,020         | <0,020              | <0,040          | <0,020            |
|                  |                 | 2023                     | <5,0                   | <0,020         | <0,020         | 0,085               | 0,35            | <0,020            |
| B602b            | 5,0-6,0         | 2019                     | <b>70.000</b>          | <b>30.000</b>  | <b>24.000</b>  | 2.900               | <b>13.000</b>   | <b>130</b>        |
|                  |                 | 2021                     | <b>56.000</b>          | <b>20.000</b>  | <b>19.000</b>  | 2.900               | <b>12.000</b>   | <b>190</b>        |
|                  |                 | 2022                     | <b>57.000</b>          | <b>18.000</b>  | <b>24.000</b>  | 2.500               | <b>11.000</b>   | <200              |
|                  |                 | 2023                     | <b>20.000</b>          | <b>13.000</b>  | <b>14.000</b>  | 690                 | <b>5.500</b>    | <b>57</b>         |
| B603-1           | 4,5-5,5         | 2019                     | <5,0                   | 0,40           | 0,067          | 0,024               | 0,064           | <0,020            |
|                  |                 | 2021                     | <5,0                   | 0,12           | 0,029          | <0,020              | <0,040          | <0,020            |
|                  |                 | 2022                     | <5,0                   | <b>2,1</b>     | 2,0            | 0,23                | 1,4             | <0,020            |
|                  |                 | 2023                     | <5,0                   | 0,025          | 0,073          | <0,020              | 0,05            | <0,020            |
| B603-2           | 2,0-4,0         | 2019                     | <5,0                   | 0,22           | 0,052          | <0,020              | 0,026           | <0,020            |
|                  |                 | 2021                     | Tør                    |                |                |                     |                 |                   |
|                  |                 | 2022                     | Tør                    |                |                |                     |                 |                   |
|                  |                 | 2023                     | Tør                    |                |                |                     |                 |                   |
| B604             | 8,0-10,0        | 2019                     | <5,0                   | <0,020         | <0,020         | <0,020              | <0,020          | <0,020            |
|                  |                 | 2021                     | <5,0                   | <0,020         | <0,020         | <0,020              | <0,040          | <0,020            |
|                  |                 | 2022                     | 7,2                    | <b>1,7</b>     | 1,4            | 0,18                | 0,84            | <0,020            |
|                  |                 | 2023                     | <5,0                   | <b>0,025</b>   | 0,098          | <0,020              | 0,074           | <0,020            |
| B605-1           | 5,5-7,5         | 2019                     | <5,0                   | <0,020         | <0,020         | <0,020              | <0,020          | <0,020            |
|                  |                 | 2021                     | <b>110</b>             | <b>72</b>      | 0,029          | <0,020              | 0,35            | <b>1,1</b>        |
|                  |                 | 2022                     | <b>228</b>             | <b>190</b>     | 2,0            | 6,2                 | <b>37</b>       | <b>3,5</b>        |
|                  |                 | 2023                     | <b>410</b>             | <b>43</b>      | 0,56           | 0,32                | <b>31</b>       | <b>4,0</b>        |
| B605-2           | 2,5-4,5         | 2019                     | <5,0                   | <0,020         | <0,020         | <0,020              | <0,020          | <0,020            |
|                  |                 | 2021                     | <5,0                   | <0,020         | <0,020         | <0,020              | <0,040          | <0,020            |
|                  |                 | 2022                     | Tør                    |                |                |                     |                 |                   |
|                  |                 | 2023                     | Tør                    |                |                |                     |                 |                   |
| Pumpebrønd       | 9,37            | 2011                     | <b>17.000</b>          | 0,99           | 1,5            | 0,13                | <b>66</b>       | 0,22              |
|                  |                 | 2014                     | <b>24.000</b>          | <b>13</b>      | <b>16</b>      | 2,2                 | <b>5.700</b>    | <b>57</b>         |
|                  |                 | 2017                     | <b>3.700</b>           | 0,14           | 0,41           | 0,11                | <b>18</b>       | <b>7,4</b>        |
|                  |                 | 2018                     | <b>940</b>             | <0,020         | <0,020         | 0,42                | <b>24</b>       | <b>4,6</b>        |
|                  |                 | 2019                     | <b>760</b>             | <0,020         | <0,020         | 0,034               | 0,67            | 0,65              |
|                  |                 | 2021                     | <b>110</b>             | 0,093          | <0,020         | <0,020              | <0,040          | <0,020            |
|                  |                 | 2022                     | <b>240</b>             | <0,020         | <0,020         | 0,027               | 0,10            | <0,020            |
|                  |                 | 2023                     | <b>170</b>             | <0,020         | <0,020         | <0,020              | 0,18            | <0,020            |

| Prøveoplysninger                                       |              |                      | Kulbrinter             | BTEX'er        |                |                     |                 |                   |
|--------------------------------------------------------|--------------|----------------------|------------------------|----------------|----------------|---------------------|-----------------|-------------------|
| ID                                                     | Dybde m.u.t. | Udtagnings-tidspunkt | Sum kulbrinter<br>µg/l | Benzen<br>µg/l | Toluen<br>µg/l | Ethylbenzen<br>µg/l | Xylener<br>µg/l | Naphtalen<br>µg/l |
| Olieudskiller                                          | 0,96         | 2011                 | <b>200</b>             | <b>1,7</b>     | 1,1            | 6,6                 | <b>16</b>       | 0,83              |
| Sandfang/udluftning                                    | 1,3          | 2011                 | <b>7.300</b>           | 0,27           | 0,29           | <0,10               | 0,78            | 0,26              |
| GB401                                                  | 3,0-4,0      | 2013                 | <5,0                   | <0,10          | 0,16           | <0,10               | <0,10           | <0,10             |
| GB401                                                  | 5,0-6,0      | 2013                 | <5,0                   | <0,10          | 0,16           | <0,10               | <0,10           | 0,15              |
| GB401                                                  | 7,0-8,0      | 2013                 | <5,0                   | <0,10          | 0,11           | <0,10               | <0,10           | <0,10             |
| GB402                                                  | 4,0-5,0      | 2013                 | <5,0                   | <0,10          | <0,10          | <0,10               | <0,10           | <0,10             |
| GB402                                                  | 6,0-7,0      | 2013                 | <5,0                   | <0,10          | 0,11           | <0,10               | <0,10           | 0,13              |
| GB403                                                  | 3,0-4,0      | 2013                 | <b>350</b>             | <b>65</b>      | <b>38</b>      | 23                  | <b>100</b>      | <b>5,5</b>        |
| GB403                                                  | 5,0-6,0      | 2013                 | <b>24.000</b>          | <b>20.000</b>  | <b>1.600</b>   | 390                 | <b>2.000</b>    | <0,10             |
| GB404                                                  | 10,0-11,0    | 2013                 | <b>190.000</b>         | <b>1.100</b>   | <b>64.000</b>  | 51.000              | <b>46.000</b>   | <b>360</b>        |
| GB404                                                  | 11,0-12,0    | 2013                 | <b>200.000</b>         | <b>6.800</b>   | <b>66.000</b>  | 5.700               | <b>32.000</b>   | <b>230</b>        |
| GB404                                                  | 12,0-13,0    | 2013                 | <b>110.000</b>         | <b>14.000</b>  | <b>54.000</b>  | 2.800               | <b>14.000</b>   | <b>170</b>        |
| GB404                                                  | 13,0-14,0    | 2013                 | <b>86.000</b>          | <b>24.000</b>  | <b>45.000</b>  | 2.600               | <b>13.000</b>   | <0,10             |
| GB404                                                  | 14,0-15,0    | 2013                 | <b>40.000</b>          | <b>30.000</b>  | <b>7.700</b>   | 410                 | <b>1.500</b>    | <b>15</b>         |
| Grundvandkvalitetskriterium                            |              |                      | 9                      | 1              | 5              |                     | 5               | 1                 |
| <b>Fed angiver overskridelse af kvalitetskriterium</b> |              |                      |                        |                |                |                     |                 |                   |

## BILAG 9

Analyserapporter, 2023



## ANALYSERAPPORT

NIRAS A/S  
Sortemosevej 19  
3450 Allerød  
Att.: NIRAS A/S

Udskrevet: 31-10-2023  
Version: 1  
Modtaget: 23-10-2023  
Analyseperiode: 23-10-2023 -  
31-10-2023  
Ordrenr.: 819643

Sagsnavn: 10418196  
Lokalitet: Tankområde Hundested  
Udtaget: 23-10-2023  
Prøvetype: Råvand  
Prøvetager: Rekv./JKF  
Kunde: NIRAS A/S, Sortemosevej 19, 3450 Allerød, Att. Jens Dengsø Jensen, PersonRef.  
jdj@niras.dk

| Prøvenr.:                  | 247822/23          | 247823/23              | 247824/23         | 247825/23             | 247826/23         |       |                      |
|----------------------------|--------------------|------------------------|-------------------|-----------------------|-------------------|-------|----------------------|
| Prøvested:                 | B118               | B119                   | B120              | B213                  | B214              |       |                      |
| Dybde:<br>Kommentar        | 8 - 10 m u.t<br>*1 | 5.5 - 10.5 m u.t<br>*1 | 3 - 6 m u.t<br>*2 | 3 - 5 m u.t<br>*1     | 2 - 4 m u.t<br>*3 |       |                      |
| Parameter                  | Enhed Metode       |                        |                   |                       |                   |       |                      |
| <b>HS BTEXN</b>            |                    |                        |                   |                       |                   | -     | DS/EN ISO 10301:2000 |
| Benzen                     | 3.4                | 4.8                    | 21000             | 0.22                  | 16000             | µg/l  | DS/EN ISO 10301:2000 |
| Toluen                     | 9.5                | 17                     | 60000             | 0.11                  | 23000             | µg/l  | DS/EN ISO 10301:2000 |
| Ethylbenzen                | 0.57               | 1.0                    | 3200              | <0.020                | 1900              | µg/l  | DS/EN ISO 10301:2000 |
| Xylenes (o,-m- og p-xylen) | 3.2                | 5.9                    | 27000             | 0.050                 | 7600              | µg/l  | DS/EN ISO 10301:2000 |
| Naphthalen                 | <0.020             | <0.020                 | 310               | <0.020                | 84                | µg/l  | DS/EN ISO 10301:2000 |
| <b>Kulbrinter i vand</b>   |                    |                        |                   |                       |                   | -     | AK61 - GC/FID/pentan |
| Kulbrinter n-C6 - n-C10    | #                  | 17                     | 29                | 130000                | <5.0              | 61000 | µg/l                 |
| Kulbrinter >n-C10 - n-C15  | #                  | <5.0                   | <5.0              | 2000                  | <5.0              | 370   | µg/l                 |
| Kulbrinter >n-C15 - n-C20  | #                  | <5.0                   | <5.0              | 19                    | <5.0              | <5.0  | µg/l                 |
| Kulbrinter >n-C20 - n-C35  | #                  | <5.0                   | <5.0              | 530                   | <5.0              | <5.0  | µg/l                 |
| Total kulbrinter (C6-C35)  | 17                 | 29                     | 130000            | <5.0                  | 61000             | µg/l  | AK61 - GC/FID/pentan |
| Prøvenr.:                  | 247827/23          | 247828/23              | 247829/23         | 247830/23             | 247831/23         |       |                      |
| Prøvested:                 | B215               | B216                   | B217              | B222                  | B223              |       |                      |
| Dybde:<br>Kommentar        | 2 - 4 m u.t<br>*1  | 2 - 5 m u.t<br>*1      | 7 - 9 m u.t<br>*1 | 1.5 - 3.5 m u.t<br>*1 | 1 - 5 m u.t<br>*1 |       |                      |
| Parameter                  | Enhed Metode       |                        |                   |                       |                   |       |                      |
| <b>HS BTEXN</b>            |                    |                        |                   |                       |                   | -     | DS/EN ISO 10301:2000 |
| Benzen                     | 1.2                | <0.020                 | 1.8               | 0.029                 | 1.4               | µg/l  | DS/EN ISO 10301:2000 |
| Toluen                     | 2.3                | <0.020                 | 4.3               | 0.092                 | 1.4               | µg/l  | DS/EN ISO 10301:2000 |
| Ethylbenzen                | 0.17               | <0.020                 | 0.31              | <0.020                | <0.020            | µg/l  | DS/EN ISO 10301:2000 |
| Xylenes (o,-m- og p-xylen) | 0.96               | <0.040                 | 1.8               | 0.074                 | 1.0               | µg/l  | DS/EN ISO 10301:2000 |
| Naphthalen                 | <0.020             | <0.020                 | <0.020            | 0.051                 | <0.020            | µg/l  | DS/EN ISO 10301:2000 |
| <b>Kulbrinter i vand</b>   |                    |                        |                   |                       |                   | -     | AK61 - GC/FID/pentan |
| Kulbrinter n-C6 - n-C10    | #                  | <5.0                   | <5.0              | 8.2                   | <5.0              | <5.0  | µg/l                 |
| Kulbrinter >n-C10 - n-C15  | #                  | <5.0                   | <5.0              | <5.0                  | <5.0              | <5.0  | µg/l                 |
| Kulbrinter >n-C15 - n-C20  | #                  | <5.0                   | <5.0              | <5.0                  | <5.0              | <5.0  | µg/l                 |
| Kulbrinter >n-C20 - n-C35  | #                  | <5.0                   | <5.0              | <5.0                  | <5.0              | <5.0  | µg/l                 |
| Total kulbrinter (C6-C35)  | <5.0               | <5.0                   | 8.2               | <5.0                  | <5.0              | <5.0  | AK61 - GC/FID/pentan |

side 1 af 3

Laboratoriet er akkrediteret af DANAK. Analyseresultaterne gælder kun for de(n) analyserede prøve(r).  
Analyserapporten må kun gengives i sin helhed, medmindre skriftlig godkendelse forliggerlysnings om måleusikkerhed  
findes på [www.alsglobal.dk](http://www.alsglobal.dk)

Tegnforklaring\_ Resultat:  
i.p.: Ikke påvist, -: analysen er ikke udført  
# i rapporten betyder ikke akkrediteret



## ANALYSERAPPORT

| Prøvenr.:                  | 247832/23         | 247833/23         | 247834/23           | 247835/23         | 247836/23             |      |                           |
|----------------------------|-------------------|-------------------|---------------------|-------------------|-----------------------|------|---------------------------|
| Prøvested:                 | B224              | B401              | B401                | B501              | B501                  |      |                           |
| Dybde:<br>Kommentar        | 2 - 4 m u.t<br>*3 | 3 - 5 m u.t<br>*3 | 10 - 12 m u.t<br>*1 | 2 - 4 m u.t<br>*1 | 5 - 6 m u.t<br>*1     |      |                           |
| Parameter                  |                   |                   |                     |                   |                       |      | Enhed Metode              |
| <b>HS BTEXN</b>            |                   |                   |                     |                   |                       |      |                           |
| Benzen                     | 1700              | 15000             | <0.020              | 0.025             | <0.020                | µg/l | DS/EN ISO 10301:2000      |
| Toluen                     | 19                | 40000             | <0.020              | 0.057             | 0.037                 | µg/l | DS/EN ISO 10301:2000      |
| Ethylbenzen                | 38                | 2400              | <0.020              | <0.020            | <0.020                | µg/l | DS/EN ISO 10301:2000      |
| Xylenes (o-,m- og p-xilen) | 2200              | 17000             | <0.040              | <0.040            | <0.040                | µg/l | DS/EN ISO 10301:2000      |
| Naphtalen                  | 33                | 190               | <0.020              | <0.020            | <0.020                | µg/l | DS/EN ISO 10301:2000      |
| <b>Kulbrinter i vand</b>   |                   |                   |                     |                   |                       |      |                           |
| Kulbrinter n-C6 - n-C10    | #                 | 15000             | 83000               | <5.0              | <5.0                  | <5.0 | µg/l AK61 - GC/FID/pentan |
| Kulbrinter >n-C10 - n-C15  | #                 | 250               | 740                 | <5.0              | <5.0                  | <5.0 | µg/l AK61 - GC/FID/pentan |
| Kulbrinter >n-C15 - n-C20  | #                 | <5.0              | 14                  | <5.0              | <5.0                  | <5.0 | µg/l AK61 - GC/FID/pentan |
| Kulbrinter >n-C20 - n-C35  | #                 | <5.0              | <5.0                | <5.0              | <5.0                  | <5.0 | µg/l AK61 - GC/FID/pentan |
| Total kulbrinter (C6-C35)  | 15000             | 84000             | <5.0                | <5.0              | <5.0                  | <5.0 | µg/l AK61 - GC/FID/pentan |
| Prøvenr.:                  | 247837/23         | 247838/23         | 247839/23           | 247840/23         | 247841/23             |      |                           |
| Prøvested:                 | B502              | B502              | B503                | B503              | B503c                 |      |                           |
| Dybde:<br>Kommentar        | 2 - 4 m u.t<br>*1 | 5 - 6 m u.t<br>*1 | 2 - 4 m u.t<br>*1   | 5 - 6 m u.t<br>*1 | 6.3 - 8.3 m u.t<br>*4 |      |                           |
| Parameter                  |                   |                   |                     |                   |                       |      | Enhed Metode              |
| <b>HS BTEXN</b>            |                   |                   |                     |                   |                       |      |                           |
| Benzen                     | 0.13              | 0.11              | 0.24                | 0.33              | <0.020                | µg/l | DS/EN ISO 10301:2000      |
| Toluen                     | 0.29              | 0.071             | 0.58                | 0.72              | <0.020                | µg/l | DS/EN ISO 10301:2000      |
| Ethylbenzen                | 0.023             | <0.020            | 0.041               | 0.051             | <0.020                | µg/l | DS/EN ISO 10301:2000      |
| Xylenes (o-,m- og p-xilen) | 0.13              | <0.040            | 0.27                | 0.30              | <0.040                | µg/l | DS/EN ISO 10301:2000      |
| Naphtalen                  | <0.020            | <0.020            | <0.020              | <0.020            | <0.020                | µg/l | DS/EN ISO 10301:2000      |
| <b>Kulbrinter i vand</b>   |                   |                   |                     |                   |                       |      |                           |
| Kulbrinter n-C6 - n-C10    | #                 | <5.0              | <5.0                | <5.0              | 2500                  | µg/l | AK61 - GC/FID/pentan      |
| Kulbrinter >n-C10 - n-C15  | #                 | <5.0              | <5.0                | <5.0              | 42                    | µg/l | AK61 - GC/FID/pentan      |
| Kulbrinter >n-C15 - n-C20  | #                 | <5.0              | <5.0                | <5.0              | <5.0                  | µg/l | AK61 - GC/FID/pentan      |
| Kulbrinter >n-C20 - n-C35  | #                 | <5.0              | <5.0                | <5.0              | <5.0                  | µg/l | AK61 - GC/FID/pentan      |
| Total kulbrinter (C6-C35)  | <5.0              | <5.0              | <5.0                | <5.0              | 2500                  | µg/l | AK61 - GC/FID/pentan      |

side 2 af 3



## ANALYSERAPPORT

| Prøvenr.:                  | 247842/23             | 247843/23             | 247844/23         | 247845/23         | 247846/23             |      |                           |
|----------------------------|-----------------------|-----------------------|-------------------|-------------------|-----------------------|------|---------------------------|
| Prøvested:                 | B601a                 | B601b                 | B602a             | B602b             | B603                  |      |                           |
| Dybde:<br>Kommentar        | 2.5 - 7.3 m u.t<br>*1 | 5.3 - 7.3 m u.t<br>*3 | 2 - 4 m u.t<br>*1 | 5 - 6 m u.t<br>*3 | 4.5 - 5.5 m u.t<br>*1 |      |                           |
| Parameter                  |                       |                       |                   |                   |                       |      | Enhed Metode              |
| <b>HS BTEXN</b>            |                       |                       |                   |                   |                       | -    | DS/EN ISO 10301:2000      |
| Benzen                     | <0.020                | 5300                  | <0.020            | 13000             | 0.025                 | µg/l | DS/EN ISO 10301:2000      |
| Toluen                     | <0.020                | 6500                  | <0.020            | 14000             | 0.073                 | µg/l | DS/EN ISO 10301:2000      |
| Ethylbenzen                | <0.020                | 990                   | 0.085             | 690               | <0.020                | µg/l | DS/EN ISO 10301:2000      |
| Xylenes (o,-m- og p-xilen) | 0.28                  | 3900                  | 0.35              | 5500              | 0.050                 | µg/l | DS/EN ISO 10301:2000      |
| Naphthalen                 | <0.020                | 45                    | <0.020            | 57                | <0.020                | µg/l | DS/EN ISO 10301:2000      |
| <b>Kulbrinter i vand</b>   |                       |                       |                   |                   |                       | -    | AK61 - GC/FID/pentan      |
| Kulbrinter n-C6 - n-C10    | #                     | <5.0                  | 25000             | <5.0              | 20000                 | <5.0 | µg/l AK61 - GC/FID/pentan |
| Kulbrinter >n-C10 - n-C15  | #                     | <5.0                  | 290               | <5.0              | 140                   | <5.0 | µg/l AK61 - GC/FID/pentan |
| Kulbrinter >n-C15 - n-C20  | #                     | <5.0                  | <5.0              | <5.0              | <5.0                  | <5.0 | µg/l AK61 - GC/FID/pentan |
| Kulbrinter >n-C20 - n-C35  | #                     | <5.0                  | <5.0              | <5.0              | <5.0                  | <5.0 | µg/l AK61 - GC/FID/pentan |
| Total kulbrinter (C6-C35)  | <5.0                  | 25000                 | <5.0              | 20000             | <5.0                  | µg/l | AK61 - GC/FID/pentan      |
| Prøvenr.:                  | 247847/23             | 247848/23             | 247849/23         |                   |                       |      |                           |
| Prøvested:                 | B604                  | B605                  | Pumpebrønd        |                   |                       |      |                           |
| Dybde:<br>Kommentar        | 8 - 10 m u.t<br>*1    | 5.5 - 7.5 m u.t<br>*5 | *5                |                   |                       |      |                           |
| Parameter                  |                       |                       |                   |                   |                       |      | Enhed Metode              |
| <b>HS BTEXN</b>            |                       |                       |                   |                   |                       | -    | DS/EN ISO 10301:2000      |
| Benzen                     | 0.025                 | 43                    | <0.020            |                   |                       | µg/l | DS/EN ISO 10301:2000      |
| Toluen                     | 0.098                 | 0.56                  | <0.020            |                   |                       | µg/l | DS/EN ISO 10301:2000      |
| Ethylbenzen                | <0.020                | 0.32                  | <0.020            |                   |                       | µg/l | DS/EN ISO 10301:2000      |
| Xylenes (o,-m- og p-xilen) | 0.074                 | 31                    | 0.18              |                   |                       | µg/l | DS/EN ISO 10301:2000      |
| Naphthalen                 | <0.020                | 4.0                   | <0.020            |                   |                       | µg/l | DS/EN ISO 10301:2000      |
| <b>Kulbrinter i vand</b>   |                       |                       |                   |                   |                       | -    | AK61 - GC/FID/pentan      |
| Kulbrinter n-C6 - n-C10    | #                     | <5.0                  | 360               | 75                |                       | µg/l | AK61 - GC/FID/pentan      |
| Kulbrinter >n-C10 - n-C15  | #                     | <5.0                  | 52                | 95                |                       | µg/l | AK61 - GC/FID/pentan      |
| Kulbrinter >n-C15 - n-C20  | #                     | <5.0                  | <5.0              | <5.0              |                       | µg/l | AK61 - GC/FID/pentan      |
| Kulbrinter >n-C20 - n-C35  | #                     | <5.0                  | <5.0              | <5.0              |                       | µg/l | AK61 - GC/FID/pentan      |
| Total kulbrinter (C6-C35)  | <5.0                  | 410                   | 170               |                   |                       | µg/l | AK61 - GC/FID/pentan      |

### Kommentar

\*1 Ingen kommentar

\*2 Laboratoriet vurderer: De påviste kulbrinter består af en blanding af vædret benzin, og smøre hydraulik-, transmissionsolie eller fuelolie.

\*3 Laboratoriet vurderer: Prøvens totalkulbrinter har sin oprindelse i autobenzin.

\*4 Laboratoriet vurderer: Prøvens totalkulbrinter har sin oprindelse i autobenzin.

Synligt indhold af BTEX ved kulbrinteanalyse, kan ikke genfindes i de fremsendte P&T glas til headspace analysen.

\*5 Som følge af nedbrydning af olieprodukter, er det ikke muligt ud fra chromatogrammer at afgøre hvilke olieprodukter der er årsag til kulbrinteindhold i prøven. Kogepunktsintervallet for de påviste kulbrinter svarer til benzin.

Camilla Højsted